

(12) 特許協力条約に基づいて公開された国際出願

(19) 世界知的所有権機関
国際事務局

(43) 国際公開日
2017年11月30日(30.11.2017)



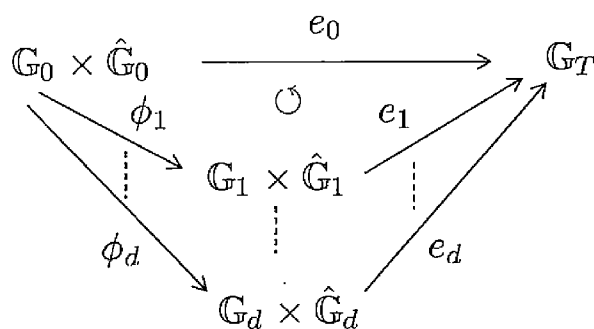
(10) 国際公開番号

WO 2017/203743 A1

- (51) 国際特許分類:
H04L 9/08 (2006.01) G09C 1/00 (2006.01)
- (21) 国際出願番号: PCT/JP2017/001558
- (22) 国際出願日: 2017年1月18日(18.01.2017)
- (25) 国際出願の言語: 日本語
- (26) 国際公開の言語: 日本語
- (30) 優先権データ:
特願 2016-106653 2016年5月27日(27.05.2016) JP
- (71) 出願人:三菱電機株式会社(MITSUBISHI ELECTRIC CORPORATION) [JP/JP]; 〒1008310 東京都千代田区丸の内二丁目7番3号 Tokyo (JP).
- (72) 発明者: 高島 克幸 (TAKASHIMA, Katsuyuki); 〒1008310 東京都千代田区丸の内二丁目7番3号 三菱電機株式会社内 Tokyo (JP). 小柴 健史 (KOSHIBA, Takeshi); 〒3388570 埼玉県さいたま市桜区下大久保255 国立大学法人埼玉大学内 Saitama (JP).
- (74) 代理人: 溝井 国際 特許 業務 法人(MIZOI INTERNATIONAL PATENT FIRM); 〒2470056 神奈川県鎌倉市大船二丁目17番10号3階 Kanagawa (JP).
- (81) 指定国(表示のない限り、全ての種類の国内保護が可能): AE, AG, AL, AM, AO, AT, AU, AZ, BA, BB, BG, BH, BN, BR, BW, BY, BZ, CA, CH, CL, CN, CO, CR, CU, CZ, DE, DJ, DK, DM, DO,

(54) Title: CIPHER APPARATUS, DECODING APPARATUS, AND CIPHER SYSTEM

(54) 発明の名称: 暗号化装置、復号装置及び暗号システム



(57) Abstract: The purpose of this invention is to make it possible to configure cipher such as attribute-based cipher that is effective even in the case where a quantum computer is made. A cipher system (1) uses a plurality of groups that are associated by an isogeny ϕ_t regarding an integer t of $t \in [d]$ and a pairing computation e_t regarding an integer t of $t \in [0, d]$. The cipher system (1) is provided with: a cipher apparatus (20) that generates ciphertext including a cipher element of a certain group among the plurality of groups; and a decoding apparatus (30) that decodes the ciphertext generated by the cipher apparatus (20) using a decoding key including a key element of a group different from the certain group among the plurality of groups.

(57) 要約: この発明は、量子計算機ができた場合にも有効な属性ベース暗号といった暗号を構成可能とすることを目的とする。暗号システム(1)は、 $t \in [d]$ の整数 t についての同種写像 ϕ_t と、 $t \in [0, d]$ の整数 t についてのペアリング演算 e_t とによって対応付けられた複数の群を用いる。暗号システム(1)は、複数の群のうちのある群の暗号要素を含む暗号文を生成する暗号化装置(20)と、複数の群のうちの前記ある群とは異なる群の鍵要素を含む復号鍵を用いて、暗号化装置(20)によって生成された暗号文を復号する復号装置(30)とを備える。



WO 2017/203743 A1

DZ, EC, EE, EG, ES, FI, GB, GD, GE, GH, GM, GT,
HN, HR, HU, ID, IL, IN, IR, IS, KE, KG, KH, KN,
KP, KR, KW, KZ, LA, LC, LK, LR, LS, LU, LY, MA,
MD, ME, MG, MK, MN, MW, MX, MY, MZ, NA,
NG, NI, NO, NZ, OM, PA, PE, PG, PH, PL, PT, QA,
RO, RS, RU, RW, SA, SC, SD, SE, SG, SK, SL, SM,
ST, SV, SY, TH, TJ, TM, TN, TR, TT, TZ, UA, UG,
US, UZ, VC, VN, ZA, ZM, ZW.

- (84) 指定国(表示のない限り、全ての種類の広域保護が可能): ARIPO (BW, GH, GM, KE, LR, LS, MW, MZ, NA, RW, SD, SL, ST, SZ, TZ, UG, ZM, ZW), ユーラシア (AM, AZ, BY, KG, KZ, RU, TJ, TM), ヨーロッパ (AL, AT, BE, BG, CH, CY, CZ, DE, DK, EE, ES, FI, FR, GB, GR, HR, HU, IE, IS, IT, LT, LU, LV, MC, MK, MT, NL, NO, PL, PT, RO, RS, SE, SI, SK, SM, TR), OAPI (BF, BJ, CF, CG, CI, CM, GA, GN, GQ, GW, KM, ML, MR, NE, SN, TD, TG).

添付公開書類:

- 一 国際調査報告 (条約第21条(3))

明 細 書

発明の名称：暗号化装置、復号装置及び暗号システム

技術分野

[0001] この発明は、耐量子暗号方式に関する。

背景技術

[0002] 量子計算機の開発が世界的に進められている。量子計算機に対しても安全性を維持できる、すなわち耐量子性を有する、格子暗号をはじめとした暗号方式の研究も進められている。しかし、格子暗号には、的確なデータサイズ設定が未だ困難であるという指摘があり、他の数学原理に基づいた構成法が望まれていた。

[0003] 楕円曲線におけるペアリング演算を用いた属性ベース暗号（以下、ABE）が数多く提案されている。非特許文献1には、楕円曲線におけるペアリング演算を用いた属性ベース暗号の1つの方式が記載されている。

[0004] また、非特許文献2には、同種写像を用いた、耐量子性を有する公開鍵暗号方式が記載されている。

先行技術文献

非特許文献

[0005] 非特許文献1：V. Goyal, O. Pandey, A. Sahai, B. Waters, Attribute-based encryption for circuits

非特許文献2：L. De Feo, D. Jao, J. Plut, Towards quantum-resistant cryptosystems from supersingular elliptic curve isogenies

非特許文献3：De Feo, L., Jao, D., Plut, J. : Towards quantum-resistant cryptosystems from supersingular elliptic

ic curve isogenies. J. Math. Crypt. 8 (3), 209–247 (2014), preliminary version: IACR Cryptology eprint Archiv, 2011:506, 2011

非特許文献4: Charles, D., Lauter, K., Goren, E.: Cryptographic hash functions from expander graphs. J. Crypt. 22 (1), 93–113 (2009), preliminary version: IACR Cryptology eprint Archiv, 2006:021, 2006

非特許文献5: Yoshida, R., Takashima, K.: Computing a sequence of 2-isogenies on supersingular elliptic curves. IEICE Trans. Fundamentals 96-A (1), 158–165 (2013), preliminary version is available in ICISC 2008, LNCS, vol. 5461, pp. 52–65 (2008)

発明の概要

発明が解決しようとする課題

[0006] しかし、楕円曲線ペアリングを用いた属性ベース暗号は全て、量子計算機によりマスター秘密鍵が暴かれ壊滅的な被害を受けることがわかっている。また、耐量子性を有する属性ベース暗号はなかった。

この発明は、量子計算機ができた場合にも有効な属性ベース暗号といった暗号方式を構成可能とすることを目的とする。

課題を解決するための手段

[0007] この発明に係る暗号化装置は、

同種写像とペアリング演算とによって対応付けられた複数の群を用いた暗号システムにおける暗号化装置であり、

前記複数の群のうちのある群の暗号要素を含む暗号文を生成する暗号文生成部を備える。

発明の効果

[0008] この発明では、同種写像とペアリング演算とによって対応付けられた複数の群を用いることにより、量子計算機ができた場合にも有効な属性ベース暗号といった暗号を構成可能となる。

図面の簡単な説明

[0009] [図1]実施の形態1に係るIBE方式で用いられる同種ペアリンググループの説明図。

[図2]実施の形態1に係る暗号システム1の構成図。

[図3]実施の形態1に係る鍵生成装置10の構成図。

[図4]実施の形態1に係る暗号化装置20の構成図。

[図5]実施の形態1に係る復号装置30の構成図。

[図6]実施の形態1に係るSetupアルゴリズムのフローチャート。

[図7]実施の形態1に係る同種ペアリンググループの説明図。

[図8]実施の形態1に係るKeyGenアルゴリズムのフローチャート。

[図9]実施の形態1に係るEncアルゴリズムのフローチャート。

[図10]実施の形態1に係るDecアルゴリズムのフローチャート。

[図11]実施の形態1に係るIBE方式に対する攻撃法の説明図。

[図12]変形例1に係る鍵生成装置10の構成図。

[図13]変形例1に係る暗号化装置20の構成図。

[図14]変形例1に係る復号装置30の構成図。

[図15]実施の形態2に係る暗号システム1の構成図。

[図16]実施の形態2に係る鍵生成装置10の構成図。

[図17]実施の形態2に係る暗号化装置20の構成図。

[図18]実施の形態2に係る復号装置30の構成図。

[図19]実施の形態5に係るIPG生成アルゴリズムのフローチャート。

[図20]実施の形態5に係るアルゴリズム $Isog_{L, \kappa}(E_0)$ の説明図。

[図21]実施の形態5に係るアルゴリズム $ISO_{L, \kappa}(E_0)$ の説明図。

発明を実施するための形態

[0010] 実施の形態1.

実施の形態1では、耐量子性を有するIDベース暗号（以下、IBE）方式について説明する。

[0011] ***記法の説明***

実施の形態1で用いられる記法について説明する。

[0012] Aがランダムな値または分布であるとき、数101は、Aの分布に従いAからyをランダムに選択することを表す。つまり、数101において、yは乱数である。

[数101]

$$y \xleftarrow{R} A$$

[0013] Aが集合であるとき、数102は、Aからyを一様に選択することを表す。つまり、数102において、yは一様乱数である。

[数102]

$$y \xleftarrow{U} A$$

[0014] 数103は、位数qの体を表す。

[数103]

$$\mathbb{F}_q$$

また、位数qの体を文中では単に \mathbb{F}_q と記載する。

[0015] $[n] := \{1, \dots, n\}$ とし、 $[0, n] := \{0\} \cup [n] := \{0, \dots, n\}$ とする。nは、0以上の整数である。

[0016] 数104に示す2つのベクトル \vec{y} 及び \vec{v} について、 $\vec{y} \cdot \vec{v}$ は、数105に示す内積を示す。

[数104]

$$\vec{y} = (y_i)_{i \in [r]}, \vec{v} = (v_i)_{i \in [r]}$$

[数105]

$$\sum_{i=1}^r y_i v_i$$

[0017] ***概念の説明***

図1を参照して、実施の形態1に係るIBE方式で用いられる同種ペアリンググループ（以下、IPG）について説明する。

[0018] IPGは、同種写像とペアリング演算とによって対応付けられた複数の群を有する。

具体的には、IPGは、群 G_0 と、群 G_0 と同種写像 ϕ_t によって対応付けられた $t = 1, \dots, d$ の各群 G_t と、 $t = 0, \dots, d$ の各群 G_t 及び群 \hat{G}_t とペアリング演算 e_t によって対応付けられた群 G_T とを有する。そして、IPGでは、群 $G_0 \times \hat{G}_0$ からペアリング演算 e_0 で変換された場合と、 $t = 1, \dots, d$ のいずれの整数 t についての同種写像 ϕ_t によって群 $G_0 \times \hat{G}_0$ から群 $G_t \times \hat{G}_t$ に変換された上で、ペアリング演算 e_t によって変換された場合とで、結果は等しくなる。

[0019] より正確には、IPGは以下のように定義される。

IPG生成アルゴリズム $Gen^{IPG}(1^\lambda, d)$ では、数106に示す公開パラメータ pk^{IPG} とマスター秘密鍵 sk^{IPG} とのマスター鍵ペアがランダムに生成される。

[数106]

$$Gen^{IPG}(1^\lambda, d) \xrightarrow{R} (pk^{IPG} := ((G_t, \hat{G}_t, g_t, \hat{g}_t, e_t)_{t \in [0, d]}, G_T), sk^{IPG} := (\phi_t)_{t \in [d]})$$

ここで、 $(G_t, \hat{G}_t, e_t, G_T)$ は、ペアリング演算 $e_t : G_t \times \hat{G}_t \rightarrow G_T$ を有する素数位数 q の非対称ペアリング群である。 $\hat{g}_t \in \hat{G}_t$ である。同種写像 $\phi_t : G_0 \rightarrow G_t$ であり、異なる楕円曲線間の同種によって与えられる。 $g_t = \phi_t(g_0) \in G_t$ である。

IPGは、数107に示す両立性を有する。

[数107]

$$e_0(g_0, \hat{g}_0) = e_t(g_t, \hat{g}_t) = e_t(\phi_t(g_0), \hat{g}_t) \text{ for any } t \in [d]$$

ここで、 $g_t = e_0(g_0, \hat{g}_0) \neq 1$ である。また、 $G_t \neq \hat{G}_t$ である。

[0020] ***構成の説明***

実施の形態1に係るIBE方式の構成を説明する。

IBE方式は、Setupアルゴリズムと、KeyGenアルゴリズムと、Encアルゴリズムと、Decアルゴリズムとを備える。

Setupアルゴリズムは、セキュリティパラメータ 1^λ を入力として、公開パラメータ pk と、マスター秘密鍵 sk とを出力する。

KeyGenアルゴリズムは、公開パラメータ pk と、マスター秘密鍵 sk と、識別子 ID とを入力として、識別子 ID に対応した復号鍵 sk_{ID} を出力する。

Encアルゴリズムは、公開パラメータ pk と、メッセージ空間 msg におけるメッセージ m と、識別子 ID' とを入力として、暗号文 $ct_{ID'}$ を出力する。

Decアルゴリズムは、公開パラメータ pk と、識別子 ID に対応した復号鍵 sk_{ID} と、識別子 ID' の下で暗号化された暗号文 $ct_{ID'}$ とを入力として、メッセージ $m' \in msg$ 、又は、復号に失敗したことを示す識別情報 \perp を出力する。

[0021] 図2を参照して、実施の形態1に係る暗号システム1の構成を説明する。

暗号システム1は、鍵生成装置10と、暗号化装置20と、復号装置30とを備える。

鍵生成装置10と暗号化装置20と復号装置30とは、コンピュータである。鍵生成装置10と暗号化装置20と復号装置30とは、ネットワークを介して接続されている。

[0022] 鍵生成装置10は、セキュリティパラメータ 1^λ を入力として、Setupアルゴリズムを実行して、公開パラメータ pk と、マスター秘密鍵 sk とを

生成する。また、鍵生成装置 10 は、公開パラメータ p_k と、マスター秘密鍵 s_k と、識別子 ID とを入力として、 $KeyGen$ アルゴリズムを実行して、復号鍵 $s_{k_{ID}}$ を生成する。

鍵生成装置 10 は、公開パラメータ p_k を公開し、復号鍵 $s_{k_{ID}}$ を識別子 ID に対応する復号装置 30 に出力する。鍵生成装置 10 は、マスター秘密鍵 s_k を保管する。

[0023] 暗号化装置 20 は、公開パラメータ p_k と、メッセージ m と、識別子 ID' とを入力として、 Enc アルゴリズムを実行して、暗号文 $c_{t_{ID'}}$ を生成する。暗号化装置 20 は、暗号文 $c_{t_{ID'}}$ を復号装置 30 に出力する。

[0024] 復号装置 30 は、公開パラメータ p_k と、復号鍵 $s_{k_{ID}}$ と、暗号文 $c_{t_{ID'}}$ とを入力として、 Dec アルゴリズムを実行して、メッセージ m' 、又は、復号に失敗したことを示す識別情報上を生成する。

[0025] 図 3 を参照して、実施の形態 1 に係る鍵生成装置 10 の構成を説明する。

鍵生成装置 10 は、プロセッサ 11 と、記憶装置 12 と、入出力インタフェース 13 とのハードウェアを備える。プロセッサ 11 は、信号線を介して他のハードウェアと接続され、これら他のハードウェアを制御する。

[0026] 鍵生成装置 10 は、機能構成要素として、マスター鍵生成部 14 と、復号鍵生成部 15 と、鍵出力部 16 とを備える。マスター鍵生成部 14 と、復号鍵生成部 15 と、鍵出力部 16 との各部の機能はソフトウェアにより実現される。

記憶装置 12 には、鍵生成装置 10 の各部の機能を実現するプログラムが記憶されている。このプログラムは、プロセッサ 11 により読み込まれ、プロセッサ 11 によって実行される。これにより、鍵生成装置 10 の各部の機能が実現される。

[0027] 図 4 を参照して、実施の形態 1 に係る暗号化装置 20 の構成を説明する。

暗号化装置 20 は、プロセッサ 21 と、記憶装置 22 と、入出力インタフェース 23 とのハードウェアを備える。プロセッサ 21 は、信号線を介して

他のハードウェアと接続され、これら他のハードウェアを制御する。

[0028] 暗号化装置 20 は、機能構成要素として、入力受付部 24 と、暗号文生成部 25 と、暗号文出力部 26 とを備える。入力受付部 24 と、暗号文生成部 25 と、暗号文出力部 26 との各部の機能はソフトウェアにより実現される。

記憶装置 22 には、暗号化装置 20 の各部の機能を実現するプログラムが記憶されている。このプログラムは、プロセッサ 21 により読み込まれ、プロセッサ 21 によって実行される。これにより、暗号化装置 20 の各部の機能が実現される。

[0029] 図 5 を参照して、実施の形態 1 に係る復号装置 30 の構成を説明する。

復号装置 30 は、プロセッサ 31 と、記憶装置 32 と、入出力インタフェース 33 とのハードウェアを備える。プロセッサ 31 は、信号線を介して他のハードウェアと接続され、これら他のハードウェアを制御する。

[0030] 復号装置 30 は、機能構成要素として、入力受付部 34 と、復号部 35 と、メッセージ出力部 36 とを備える。入力受付部 34 と、復号部 35 と、メッセージ出力部 36 との各部の機能はソフトウェアにより実現される。

記憶装置 32 には、復号装置 30 の各部の機能を実現するプログラムが記憶されている。このプログラムは、プロセッサ 31 により読み込まれ、プロセッサ 31 によって実行される。これにより、復号装置 30 の各部の機能が実現される。

[0031] プロセッサ 11, 21, 31 は、プロセッシングを行う IC (Integrated Circuit) である。プロセッサ 11, 21, 31 は、具体例としては、CPU (Central Processing Unit)、DSP (Digital Signal Processor)、GPU (Graphics Processing Unit) である。

[0032] 記憶装置 12, 22, 32 は、具体例としては、RAM (Random Access Memory)、HDD (Hard Disk Drive) である。ま

た、記憶装置12、22、32は、SD (Secure Digital) メモリカード、CF (Compact Flash)、NANDフラッシュ、フレキシブルディスク、光ディスク、コンパクトディスク、ブルーレイ (登録商標) ディスク、DVDといった可搬記憶媒体であってもよい。

[0033] 入出力インタフェース13、23、33は、外部からデータの入力を受け付け、外部へデータを出力するためのインタフェースである。入出力インタフェース13、23、33は、具体例としては、キーボードといった入力装置と、ディスプレイといった出力装置とを接続するUSB (Universal Serial Bus)、PS/2、HDMI (登録商標、High-Definition Multimedia Interface) といったコネクタである。また、入出力インタフェース13、23、33は、具体例としては、外部からネットワークを介してデータを送受信するNIC (Network Interface Card) であってもよい。

[0034] プロセッサ11によって実現される各部の機能の処理の結果を示す情報とデータと信号値と変数値は、記憶装置12、又は、プロセッサ11内のレジスタ又はキャッシュメモリに記憶される。同様に、プロセッサ21によって実現される各部の機能の処理の結果を示す情報とデータと信号値と変数値は、記憶装置22、又は、プロセッサ21内のレジスタ又はキャッシュメモリに記憶される。同様に、プロセッサ31によって実現される各部の機能の処理の結果を示す情報とデータと信号値と変数値は、記憶装置32、又は、プロセッサ31内のレジスタ又はキャッシュメモリに記憶される。

[0035] プロセッサ11によって実現される各機能を実現するプログラムは、記憶装置12に記憶されているとした。同様に、プロセッサ21によって実現される各機能を実現するプログラムは、記憶装置22に記憶されているとした。同様に、プロセッサ31によって実現される各機能を実現するプログラムは、記憶装置32に記憶されているとした。しかし、このプログラムは、磁気ディスク、フレキシブルディスク、光ディスク、コンパクトディスク、ブ

ルーレイ（登録商標）ディスク、DVDといった可搬記憶媒体に記憶されてもよい。

[0036] 図3では、プロセッサ11は、1つだけ示されていた。しかし、鍵生成装置10は、プロセッサ11を代替する複数のプロセッサを備えていてもよい。これら複数のプロセッサは、鍵生成装置10の各部の機能を実現するプログラムの実行を分担する。それぞれのプロセッサは、プロセッサ11と同じように、プロセッシングを行うICである。同様に、暗号化装置20は、プロセッサ21を代替する複数のプロセッサを備えていてもよい。また、復号装置30は、プロセッサ31を代替する複数のプロセッサを備えていてもよい。

[0037] ***動作の説明***

図3から図9を参照して、実施の形態1に係る暗号システム1の動作を説明する。

実施の形態1に係る暗号システム1の動作は、実施の形態1に係る暗号方法に相当する。また、実施の形態1に係る暗号システム1の動作は、実施の形態1に係る暗号プログラムの処理に相当する。

[0038] 図3及び図6を参照して、実施の形態1に係るSetupアルゴリズムを説明する。

Setupアルゴリズムは、鍵生成装置10によって実行される。

[0039] (ステップS11: IPG生成処理)

マスター鍵生成部14は、入出力インタフェース13を介してセキュリティパラメータ 1^λ の入力を受け付ける。マスター鍵生成部14は、受け付けられたセキュリティパラメータ 1^λ と、 $d=1$ とを入力として、IPG生成アルゴリズム $\text{Gen}^{\text{IPG}}(1^\lambda, d)$ を実行して、数108に示す公開パラメータ pk^{IPG} とマスター秘密鍵 sk^{IPG} とのマスター鍵ペアを生成する。

[数108]

$$(\text{pk}^{\text{IPG}} := ((\mathbb{G}_t, \hat{\mathbb{G}}_t, g_t, \hat{g}_t, e_t)_{t=0,1}, \mathbb{G}_T)), \text{sk}^{\text{IPG}} := \phi_1)$$

$$\xleftarrow{\text{R}} \text{Gen}^{\text{IPG}}(1^\lambda, 1)$$

[0040] つまり、図7に示すように、実施の形態1では、 $t = 0, 1$ についての群 G_t 及び群 G^{\wedge}_t とペアリング演算 e_t と、群 G_T と、同種写像 ϕ_1 とが生成される。

なお、図7に示されるように、 G_0 から G_1 への変換が“復号鍵生成 (Key Gen)” に、 $G_0 \times G^{\wedge}_0$ から G_T への変換が“暗号化 (Enc)” に、 $G_1 \times G^{\wedge}_1$ から G_T への変換が“復号 (Dec)” に大まかに対応している。

[0041] (ステップS12: ハッシュ関数生成処理)

マスター鍵生成部14は、識別子の空間である体 F_q の要素を、群 G_0 の要素に変換するランダムなハッシュ関数 H を生成する。

[0042] (ステップS13: マスター鍵生成処理)

マスター鍵生成部14は、ステップS11で生成された公開パラメータ pk^{IPG} と、ステップS12で生成されたハッシュ関数 H とを用いて、公開パラメータ $pk := ((G_t, G^{\wedge}_t, g^{\wedge}_t, e_t)_{t=0,1}, G_T, H)$ を生成する。鍵出力部16は、公開パラメータ pk を入出力インタフェース13を介して外部の公開用サーバ等へ出力することにより、公開パラメータ pk を暗号化装置20及び復号装置30に出力する。

また、マスター鍵生成部14は、ステップS11で生成されたマスター秘密鍵 sk^{IPG} を用いて、マスター秘密鍵 $sk := \phi_1$ を生成する。マスター鍵生成部14は、生成されたマスター秘密鍵 sk を記憶装置12に書き込む。

[0043] つまり、マスター鍵生成部14は、数109に示すSetupアルゴリズムを実行して、マスター鍵ペアを生成する。

[数109]

Setup(1^λ):

$(pk^{IPG} := ((G_t, \hat{G}_t, g_t, \hat{g}_t, e_t)_{t=0,1}, G_T)), sk^{IPG} := \phi_1)$

$\xleftarrow{R} \text{Gen}^{IPG}(1^\lambda, 1),$

generate a random hash $H: F_q \rightarrow G_0$ with the identity space F_q ,

return $pk := ((G_t, \hat{G}_t, \hat{g}_t, e_t)_{t=0,1}, G_T, H), sk := \phi_1.$

[0044] 図3及び図8を参照して、実施の形態1に係るKeyGenアルゴリズムを説明する。

KeyGenアルゴリズムは、鍵生成装置10によって実行される。

[0045] (ステップS21: ID受付処理)

復号鍵生成部15は、入出力インタフェース13を介して、復号鍵 sk_{ID} を使用するユーザの識別子IDの入力を受け付ける。

[0046] (ステップS22: 鍵要素生成処理)

復号鍵生成部15は、ステップS21で受け付けられた識別子IDを入力として、公開パラメータpkに含まれるハッシュ関数Hを計算して、群 G_0 の要素である要素 h_0 を生成する。復号鍵生成部15は、マスター秘密鍵skに含まれる同種写像 ϕ_1 で要素 h_0 を変換して、要素 h_1 を生成する。

[0047] (ステップS23: 鍵要素出力処理)

鍵出力部16は、ステップS21で受け付けられた識別子IDと、ステップS22で生成された要素 h_1 とを鍵要素とする復号鍵 sk_{ID} を、入出力インタフェース13を介して復号装置30に出力する。この際、鍵出力部16は、何らかの暗号方式で暗号化するという方法により、復号鍵 sk_{ID} が第三者に漏えいしないようにする。

[0048] つまり、復号鍵生成部15は、数110に示すKeyGenアルゴリズムを実行して、復号鍵 sk_{ID} を生成する。

[数110]

KeyGen(pk, sk, ID):
 $h_0 := H(ID) \in G_0, h_1 := \phi_1(h_0),$
return $sk_{ID} := (ID, h_1).$

[0049] 図4及び図9を参照して、実施の形態1に係るEncアルゴリズムを説明する。

Encアルゴリズムは、暗号化装置20によって実行される。

[0050] (ステップS31: 入力受付処理)

入力受付部24は、入出力インタフェース23を介して、鍵生成装置10

によって生成された公開パラメータ p_k と、暗号化対象のメッセージ m と、復号条件となる識別子 $|D'$ との入力を受け付ける。

[0051] (ステップS32: 暗号文生成処理)

暗号文生成部25は、ステップS31で受け付けられた識別子 $|D'$ を入力として、公開パラメータ p_k に含まれるハッシュ関数 H を計算して、群 G_0 の要素である要素 h_0 を生成する。また、暗号文生成部25は、一様乱数 ζ を生成する。

暗号文生成部25は、一様乱数 ζ を用いて、数111に示す要素 c を生成する。

[数111]

$$c := \hat{g}_1^\zeta$$

また、暗号文生成部25は、要素 h_0 及び一様乱数 ζ を用いて、数112に示す要素 z を生成する。そして、暗号文生成部25は、ステップS31で受け付けられたメッセージ m と、要素 z を用いて要素 $c_T := z \cdot m$ を生成する。

[数112]

$$z := e_0(h_0, \hat{g}_0)^\zeta$$

[0052] (ステップS33: 暗号文出力処理)

暗号文出力部26は、ステップS31で受け付けられた識別子 $|D'$ と、ステップS32で生成された要素 c 、 c_T とを暗号要素とする暗号文 $ct_{|D'}$ を、入出力インタフェース23を介して復号装置30に出力する。

[0053] つまり、暗号化装置20は、数113に示す Enc アルゴリズムを実行して、暗号文 $ct_{|D'}$ を生成する。

[数113]

Enc(pk, m, ID'):

$$h_0 := H(\text{ID}') \in \mathbb{G}_0, \zeta \xleftarrow{\text{U}} \mathbb{F}_q^X,$$

$$c := \hat{g}_1^\zeta, z := e_0(h_0, \hat{g}_0)^\zeta, c_T := z \cdot m,$$

return ct_{ID'} := (ID', c, c_T).

[0054] 図5及び図10を参照して、実施の形態1に係るDecアルゴリズムを説明する。

Decアルゴリズムは、復号装置30によって実行される。

[0055] (ステップS41: 入力受付処理)

入力受付部34は、入出力インタフェース33を介して、鍵生成装置10によって生成された公開パラメータpk及び復号鍵sk_{ID}と、暗号化装置20によって生成された暗号文ct_{ID'}との入力を受け付ける。

[0056] (ステップS42: 復号判定処理)

復号部35は、ステップS41で受け付けられた復号鍵sk_{ID}に含まれる識別子IDと、暗号文ct_{ID'}に含まれる識別子ID'とが等しいか否かを判定する。これにより、暗号文ct_{ID'}を復号鍵sk_{ID}で復号可能かが判定される。

復号部35は、等しいと判定された場合、つまり復号可能と判定された場合、処理をステップS43に進め、そうでない場合、処理をステップS45に進める。

[0057] (ステップS43: 復号処理)

復号部35は、ステップS41で受け付けられた復号鍵sk_{ID}に含まれる要素h₁と、暗号文ct_{ID'}に含まれる暗号要素cとについてペアリング演算e₁を行い、要素z'を計算する。復号部35は、計算された要素z'を用いて、メッセージm' := c_T · (z')⁻¹を計算する。

[0058] (ステップS44: メッセージ出力処理)

メッセージ出力部36は、ステップS42で計算されたメッセージm'を

、入出力インタフェース33を介して出力する。

[0059] (ステップS45: 識別情報出力処理)

メッセージ出力部36は、識別情報 \perp を、入出力インタフェース33を介して出力する。

[0060] つまり、復号装置30は、数114に示すDecアルゴリズムを実行して、暗号文 $ct_{ID'}$ を復号鍵 sk_{ID} により復号する。

[数114]

```
Dec(pk, skID, ctID'):
  if (ID = ID'),
    z' := e1(h1, c), m' := cT · (z')-1,
    return m'.
  otherwise, return  $\perp$ .
```

[0061] ***実施の形態1の効果***

以上のように、実施の形態1に係る暗号システム1は、IPGを用いてIBE方式を実現する。ここで、鍵生成装置10によって生成されるマスター秘密鍵 $sk := \phi_1$ は、耐量子性を有している。そのため、量子計算機によっても、マスター秘密鍵 sk が破られることがない。

[0062] 図11を参照して、実施の形態1の効果を詳しく説明する。

実施の形態1に係るIBE方式は、秘密鍵が2階層の階層的な構造となっている。つまり、実施の形態1に係るIBE方式は、秘密鍵が、上位階層のマスター秘密鍵と、下位階層の復号鍵との2階層の構造となっている。

もし、マスター秘密鍵が明らかになると、どんな識別子IDについての復号鍵も、従来の確率的多項式時間マシンを用いて生成可能になる。そのため、攻撃者は、効率的に攻撃するために、初めにマスター秘密鍵を明らかにしようとする。もしマスター秘密鍵が守られると、攻撃者は暗号文を1つ1つ破る必要がある。マスター秘密鍵を攻撃する方法を“マスター鍵レベルアタック”と呼び、暗号文を1つ1つ攻撃する方法を“ユーザレベルアタック”と呼ぶ。

量子計算機が開発された場合、実施の形態 1 に係る暗号システム 1 では、ユーザレベルアタックは可能になってしまうものの、マスター鍵レベルアタックは防ぐことができる。

仮に量子計算機が完成したとしても、初期の段階では、既存のコンピュータの場合と同様に、開発速度は比較的遅いものと考えられる。そして、少なくとも、初期の段階では、持ち運び可能なハンディタイプの量子計算機は広まらないし、そのような量子計算機は高額であると考えられる。そのため、ユーザレベルアタックは非常に非効率となると考えられる。実施の形態 1 に係る暗号システム 1 では、効率的な I B E 方式を実現しつつ、マスター鍵レベルアタックは防ぐことができる。したがって、実施の形態 1 に係る暗号システム 1 で実現される I B E 方式は、仮に量子計算機が完成したとしても、しばらくの間は効率的かつ有用なものと考えられる。

[0063] ***他の構成***

<変形例 1 >

実施の形態 1 では、鍵生成装置 10、暗号化装置 20、復号装置 30 の各部の機能がソフトウェアで実現された。変形例 1 として、鍵生成装置 10、暗号化装置 20、復号装置 30 の各部の機能はハードウェアで実現されてもよい。この変形例 1 について、実施の形態 1 と異なる点を説明する。

[0064] 図 12 から図 14 を参照して、変形例 1 に係る鍵生成装置 10、暗号化装置 20、復号装置 30 の構成を説明する。

各部の機能がハードウェアで実現される場合、鍵生成装置 10、暗号化装置 20、復号装置 30 は、プロセッサ 11, 21, 31 と記憶装置 12, 22, 32 とに代えて、処理回路 17, 27, 37 を備える。処理回路 17, 27, 37 は、鍵生成装置 10、暗号化装置 20、復号装置 30 の各部の機能と、記憶装置 12, 22, 32 の機能とを実現する専用の電子回路である。

[0065] 処理回路 17, 27, 37 は、単一回路、複合回路、プログラム化したプロセッサ、並列プログラム化したプロセッサ、ロジック IC、GA (G a t

e Array)、ASIC (Application Specific Integrated Circuit)、FPGA (Field-Programmable Gate Array) が想定される。

鍵生成装置 10、暗号化装置 20、復号装置 30 は、処理回路 17, 27, 37 を代替する複数の処理回路を備えていてもよい。これら複数の処理回路により、全体として各部の機能が実現される。それぞれの処理回路は、処理回路 17, 27, 37 と同じように、専用の電子回路である。

[0066] <変形例 2>

変形例 2 として、一部の機能がハードウェアで実現され、他の機能がソフトウェアで実現されてもよい。つまり、鍵生成装置 10、暗号化装置 20、復号装置 30 の各部のうち、一部の機能がハードウェアで実現され、他の機能がソフトウェアで実現されてもよい。

[0067] プロセッサ 11, 21, 31 と記憶装置 12, 22, 32 と処理回路 17, 27, 37 とを、総称して「プロセッシングサーキットリー」という。つまり、各部の機能は、プロセッシングサーキットリーにより実現される。

[0068] 実施の形態 2.

実施の形態 2 では、耐量子性を有する ABE 方式について説明する。実施の形態 2 では、実施の形態 1 と異なる点を説明する。

実施の形態 2 では、 $t \in [d]$ について $(t, 1) \in [d] \times [1] = [d] \times U$ で特定される、多項式サイズのユニバース $[d]$ の要素として属性が与えられる場合を説明する。つまり、後述する属性集合 $\Gamma \subset [d]$ の場合を説明する。

[0069] ***概念の説明***

実施の形態 2 に係る ABE 方式で用いられる概念について説明する。

スパンプログラムについて説明する。スパンプログラムは既存の概念であるため、ここでは以下の説明で必要な範囲だけ簡単に説明する。

[0070] 体 F_q 上のスパンプログラムは、ラベル付けされた行列 $S := (M, \rho)$ である。ここで、行列 M は、体 F_q 上の (L 行 \times r 列) の行列である。ラベル ρ

は、 $\{(t, v), (t', v'), \dots\}$ から属性に応じて行列Mの行に対して付されたラベルである。なお、全ての行が1つの属性にラベル付けされる。つまり、 $\rho: \{1, \dots, L\} \rightarrow \{(t, v), (t', v'), \dots\}$ である。

スンププログラムは、以下の基準に従い、入力を受理又は拒絶する。 Γ を属性集合とする。つまり、 $\Gamma := \{(t_j, x_j)\}_{1 \leq j \leq d}$ ($x_j \in U_{t_j}$) である。 $1 \rightarrow \text{span} \langle (M_i)_{\rho(i) \in \Gamma} \rangle$ の場合に限り、スンププログラムSは属性集合 Γ を受理する。スンププログラムSが属性集合 Γ を受理することを、 $R(S, \Gamma) = 1$ と表す。つまり、行列Mの行 $(M_i)_{\rho(i) \in \Gamma}$ の線形結合によって全ての要素が1のベクトルが得られる場合に限り、スンププログラムSは属性集合 Γ を受理する。行列Sをアクセスストラクチャと呼ぶ。

[0071] ***構成の説明***

実施の形態2では、復号鍵に復号条件であるポリシーが設定される鍵ポリシー型のABE（以下、KP-ABE）方式について説明する。なお、同様の考え方により、暗号文にポリシーが設定される暗号文ポリシー型のABEを実現することも可能である。

特に、実施の形態2では、タグ付されたKP-ABE方式について説明する。タグ付けされたKP-ABE方式では、復号鍵のパラメータ (tag, S) と、暗号文のパラメータ (tag', Γ) とに対して、関係 $R^+((tag, S), (tag', \Gamma)) := Eq(tag, tag') \wedge R(S, \Gamma)$ と定義される。ここで、 $tag = tag'$ の場合に限り、 $Eq(tag, tag') = 1$ である。そして、 $Eq(tag, tag') = 1 \wedge R(S, \Gamma) = 1$ の場合に、暗号文を復号鍵で復号できる。

[0072] KP-ABE方式は、Setupアルゴリズムと、KeyGenアルゴリズムと、Encアルゴリズムと、Decアルゴリズムとを備える。

Setupアルゴリズムは、セキュリティパラメータ 1^λ を入力として、公開パラメータ pk と、マスター秘密鍵 sk とを出力する。

KeyGenアルゴリズムは、公開パラメータ p_k と、マスター秘密鍵 s_k と、入力タグ t_{ag} と、アクセスストラクチャ $S := (M, \rho)$ とを入力として、入力タグ t_{ag} 及びアクセスストラクチャ S に対応した復号鍵 $s_{k_{t_{ag}, S}}$ を出力する。

Encアルゴリズムは、公開パラメータ p_k と、メッセージ空間 msg におけるメッセージ m と、入力タグ t_{ag}' と、属性集合 $\Gamma := \{(t_j, x_j) \mid 1 \leq j \leq d'\}$ を入力として、暗号文 $c_{t_{ag}', \Gamma}$ を出力する。

Decアルゴリズムは、公開パラメータ p_k と、入力タグ t_{ag} 及びアクセスストラクチャ S に対応した復号鍵 $s_{k_{t_{ag}, S}}$ と、入力タグ t_{ag}' 及び属性集合 Γ の下で暗号化された暗号文 $c_{t_{ag}', \Gamma}$ とを入力として、メッセージ $m' \in msg$ 、又は、復号に失敗したことを示す識別情報 \perp を出力する。

[0073] 図15を参照して、実施の形態2に係る暗号システム1の構成を説明する。

暗号システム1は、鍵生成装置10と、暗号化装置20と、復号装置30とを備える。

鍵生成装置10と暗号化装置20と復号装置30とは、コンピュータである。鍵生成装置10と暗号化装置20と復号装置30とは、ネットワークを介して接続されている。

[0074] 鍵生成装置10は、セキュリティパラメータ 1^λ を入力として、Setupアルゴリズムを実行して、公開パラメータ p_k と、マスター秘密鍵 s_k とを生成する。また、鍵生成装置10は、公開パラメータ p_k と、マスター秘密鍵 s_k と、入力タグ t_{ag} と、アクセスストラクチャ $S := (M, \rho)$ とを入力として、KeyGenアルゴリズムを実行して、復号鍵 $s_{k_{t_{ag}, S}}$ を生成する。

鍵生成装置10は、公開パラメータ p_k を公開し、復号鍵 $s_{k_{t_{ag}, S}}$ を入力タグ t_{ag} 及びアクセスストラクチャ S に対応する復号装置30に出力する。鍵生成装置10は、マスター秘密鍵 s_k を保管する。

[0075] 暗号化装置20は、公開パラメータ p_k と、メッセージ m と、入力タグ t

ag' と、属性集合 Γ とを入力として、 Enc アルゴリズムを実行して、暗号文 $ct_{tag', \Gamma}$ を生成する。暗号化装置 20 は、暗号文 $ct_{tag', \Gamma}$ を復号装置 30 に出力する。

[0076] 復号装置 30 は、公開パラメータ pk と、復号鍵 $sk_{tag, s}$ と、暗号文 $ct_{tag', \Gamma}$ とを入力として、 Dec アルゴリズムを実行して、メッセージ m' 、又は、復号に失敗したことを示す識別情報 \perp を生成する。

[0077] 図 16 に示す鍵生成装置 10 と、図 17 に示す暗号化装置 20 と、図 18 に示す復号装置 30 との構成は、それぞれ図 3 に示す鍵生成装置 10 と、図 4 に示す暗号化装置 20 と、図 5 に示す復号装置 30 との構成と同じである。但し、各構成要素で入出力される情報が異なる。

[0078] ***動作の説明***

図 16 から図 18 と、図 6 から図 10 とを参照して、実施の形態 2 に係る暗号システム 1 の動作を説明する。

実施の形態 2 に係る暗号システム 1 の動作は、実施の形態 2 に係る暗号方法に相当する。また、実施の形態 2 に係る暗号システム 1 の動作は、実施の形態 2 に係る暗号プログラムの処理に相当する。

[0079] 図 16 及び図 6 を参照して、実施の形態 2 に係る $Setup$ アルゴリズムを説明する。

$Setup$ アルゴリズムは、鍵生成装置 10 によって実行される。

[0080] (ステップ S11: IPG 生成処理)

マスター鍵生成部 14 は、入出力インタフェース 13 を介してセキュリティパラメータ 1^λ の入力を受け付ける。マスター鍵生成部 14 は、受け付けられたセキュリティパラメータ 1^λ と、1 以上の整数 d とを入力として、 IPG 生成アルゴリズム $Gen^{IPG}(1^\lambda, d)$ を実行して、数 115 に示す公開パラメータ pk^{IPG} とマスター秘密鍵 sk^{IPG} とのマスター鍵ペアを生成する。

[数115]

$$(pk^{IPG} := ((G_t, \hat{G}_t, g_t, \hat{g}_t, e_t)_{t \in [0, d]}, G_T)), sk^{IPG} := (\phi_t)_{t \in [d]}) \\ \xleftarrow{R} Gen^{IPG}(1^\lambda, d)$$

[0081] つまり、図1に示すように、実施の形態1では、 $t = 0, 1, \dots, d$ についての群 G_t 及び群 \hat{G}_t とペアリング演算 e_t と、群 G_T と、 $t = 1, \dots, d$ についての同種写像 ϕ_t とが生成される。つまり、 $d + 1$ 個のペアリング群が用いられる。

ここで、 $t = 1, \dots, d$ の群 G_t 及び群 \hat{G}_t に属性が設定される。したがって、整数 d の値は、設定したい属性の数に応じて決定される。

[0082] (ステップS12: ハッシュ関数生成処理)

実施の形態1と同様に、マスター鍵生成部14は、ハッシュ関数 H を生成する。

[0083] (ステップS13: マスター鍵生成処理)

マスター鍵生成部14は、ステップS11で生成された公開パラメータ pk^{IPG} と、ステップS12で生成されたハッシュ関数 H とを用いて、公開パラメータ $pk := ((G_t, \hat{G}_t, g_t, \hat{g}_t, e_t)_{t \in [0, d]}, G_T, H)$ を生成する。鍵出力部16は、公開パラメータ pk を入出力インタフェース13を介して外部の公開用サーバ等へ出力することにより、公開パラメータ pk を暗号化装置20及び復号装置30に出力する。

また、マスター鍵生成部14は、ステップS11で生成されたマスター秘密鍵 sk^{IPG} を用いて、マスター秘密鍵 $sk := (\phi_t)_{t \in [d]}$ を生成する。マスター鍵生成部14は、生成されたマスター秘密鍵 sk を記憶装置12に書き込む。

[0084] つまり、マスター鍵生成部14は、数116に示す $Setup$ アルゴリズムを実行して、マスター鍵ペアを生成する。

[数116]

$Setup(1^\lambda)$:

$$(pk^{IPG} := ((G_t, \hat{G}_t, g_t, \hat{g}_t, e_t)_{t \in [0, d]}, G_T)), sk^{IPG} := (\phi_t)_{t \in [d]})$$

$$\xleftarrow{R} \text{Gen}^{IPG}(1^\lambda, d),$$

generate a random hash $H: \mathbb{F}_q \rightarrow \mathbb{G}_0$ with the identity space \mathbb{F}_q ,

return $pk := ((G_t, \hat{G}_t, \hat{g}_t, e_t)_{t \in [0, d]}, G_T, H), sk := (\phi_t)_{t \in [d]}$.

[0085] 図16及び図8を参照して、実施の形態2に係るKeyGenアルゴリズムを説明する。

KeyGenアルゴリズムは、鍵生成装置10によって実行される。

[0086] (ステップS21: ID受付処理)

復号鍵生成部15は、入出力インタフェース13を介して、復号鍵 $sk_{tag, s}$ 、 s を使用するユーザの入力タグ tag 及びアクセスストラクチャ $S := (M, \rho)$ の入力を受け付ける。アクセスストラクチャ S は、復号鍵 $sk_{tag, s}$ で復号可能な範囲を示すものである。

[0087] (ステップS22: 鍵要素生成処理)

復号鍵生成部15は、ステップS21で受け付けられた入力タグ tag を入力として、公開パラメータ pk に含まれるハッシュ関数 H を計算して、群 G_0 の要素である要素 h_0 を生成する。

復号鍵生成部15は、 $1 \rightarrow \cdot u \rightarrow = 1$ であるベクトル $u \rightarrow$ をランダムに選択する。復号鍵生成部15は、 $i \in [L]$ に対して、 $s_i := M_i \cdot u \rightarrow$ とし、 $t := \rho(i)$ として、数117に示すように、マスター秘密鍵 sk に含まれる同種写像 ϕ_t で要素 h_0 を変換して、要素 k_i を生成する。

[数117]

$$k_i := \phi_t(h_0)^{s_i}$$

[0088] (ステップS23: 鍵要素出力処理)

鍵出力部16は、ステップS21で受け付けられた入力タグ tag 及びアクセスストラクチャ S と、ステップS22で生成された $i \in [L]$ についての要素 k_i とを鍵要素とする復号鍵 $sk_{tag, s}$ を、入出力インタフェース13を介して復号装置30に出力する。この際、鍵出力部16は、何らかの暗号方式で暗号化するという方法により、復号鍵 $sk_{tag, s}$ が第三者に漏えいしないようにする。

[0089] つまり、復号鍵生成部15は、数118に示すKeyGenアルゴリズムを実行して、復号鍵 $sk_{tag, s}$ を生成する。

[数118]

KeyGen(pk,sk,tag, $\mathbb{S} := (M, \rho)$):
 $h_0 := H(\text{tag}) \in \mathbb{G}_0$,
 choose random \vec{u} such that $\vec{1} \cdot \vec{u} = 1$,
 for $i \in [L]$, $s_i := M_i \cdot \vec{u}$, $t := \rho(i)$, $k_i := \phi_t(h_0)^{s_i}$,
 return $\text{sk}_{\text{tag}, \mathbb{S}} := (\text{tag}, \mathbb{S}, \{k_i\}_{i \in [L]})$.

[0090] 図17及び図9を参照して、実施の形態2に係るEncアルゴリズムを説明する。

Encアルゴリズムは、暗号化装置20によって実行される。

[0091] (ステップS31：入力受付処理)

入力受付部24は、入出インタフェース23を介して、鍵生成装置10によって生成された公開パラメータpkと、暗号化対象のメッセージmと、復号条件となる入力タグtag'及び属性集合Γとの入力を受け付ける。

[0092] (ステップS32：暗号文生成処理)

暗号文生成部25は、ステップS31で受け付けられた入力タグtag'を入力として、公開パラメータpkに含まれるハッシュ関数Hを計算して、群 \mathbb{G}_0 の要素である要素 h_0 を生成する。また、暗号文生成部25は、一様乱数 ζ を生成する。

暗号文生成部25は、属性集合Γに含まれる各整数tについて、一様乱数 ζ を用いて、数119に示す要素 c_t を生成する。

[数119]

$$c_t := \hat{g}_t^{\zeta}$$

また、暗号文生成部25は、要素 h_0 及び一様乱数 ζ を用いて、数120に示す要素zを生成する。そして、暗号文生成部25は、ステップS31で受け付けられたメッセージmと、要素zを用いて要素 $c_T := z \cdot m$ を生成する。

[数120]

$$z := e_0(h_0, \hat{g}_0)^\zeta$$

[0093] (ステップS33: 暗号文出力処理)

暗号文出力部26は、ステップS31で受け付けられた入力タグ tag' 及び属性集合 Γ と、ステップS32で生成された属性集合 Γ に含まれる各整数 t についての要素 c_t 及び要素 c_T とを暗号要素とする暗号文 $ct_{tag', \Gamma}$ を、入出力インタフェース23を介して復号装置30に出力する。

[0094] つまり、暗号化装置20は、数121に示す Enc アルゴリズムを実行して、暗号文 $ct_{tag', \Gamma}$ を生成する。

[数121]

$Enc(pk, m, tag', \Gamma):$

$$h_0 := H(tag') \in \mathbb{G}_0, \zeta \xleftarrow{U} \mathbb{F}_q,$$

$$\text{for } t \in \Gamma, c_t := \hat{g}_t^\zeta, z := e_0(h_0, \hat{g}_0)^\zeta, c_T := z \cdot m,$$

$$\text{return } ct_{tag', \Gamma} := (tag', \Gamma, \{c_t\}_{t \in \Gamma}, c_T).$$

[0095] 図18及び図10を参照して、実施の形態2に係る Dec アルゴリズムを説明する。

Dec アルゴリズムは、復号装置30によって実行される。

[0096] (ステップS41: 入力受付処理)

入力受付部34は、入出力インタフェース33を介して、鍵生成装置10によって生成された公開パラメータ pk 及び復号鍵 $sk_{tag, S}$ と、暗号化装置20によって生成された暗号文 $ct_{tag', \Gamma}$ との入力を受け付ける。

[0097] (ステップS42: 復号判定処理)

復号部35は、ステップS41で受け付けられた復号鍵 $sk_{tag, S}$ に含まれる入力タグ tag と、暗号文 $ct_{tag', \Gamma}$ に含まれる入力タグ tag' とが等しいか否かを判定する。また、復号部35は、復号鍵 $sk_{tag, S}$ に含まれるアクセスストラクチャ S が、暗号文 $ct_{tag', \Gamma}$ に含まれる属性集合 Γ を受理するか否かを判定する。これにより、暗号文 $ct_{tag', \Gamma}$ を復号鍵 $sk_{tag, S}$ で

復号可能かが判定される。

復号部35は、入力タグtagと入力タグtag' とが等しいと判定され、かつ、アクセスストラクチャSが属性集合Γを受理すると判定された場合、処理をステップS43に進め、そうでない場合、処理をステップS45に進める。

[0098] (ステップS43:復号処理)

復号部35は、 $\rho(i) \in \Gamma$ について、数122を満たす補完係数 α_i を計算する。なお、 M_i は、行列Mのi行目である。

[数122]

$$\vec{1} = \sum_{\rho(i) \in \Gamma} \sigma_i M_i$$

復号部35は、計算された補完係数 α_i を用いて、ステップS41で受け付けられた復号鍵 $sk_{tag, s}$ に含まれる要素 k_i と、暗号文 $ct_{tag', \Gamma}$ に含まれる暗号要素 c_t とについて数123に示すペアリング演算を行い、要素 z' を計算する。

[数123]

$$z' = \prod_{t: \rho(i) \in \Gamma} e_t(k_i, c_t)^{\sigma_i}$$

復号部35は、計算された要素 z' を用いて、メッセージ $m' := c_T \cdot (z')^{-1}$ を計算する。

[0099] ステップS44からステップS45の処理は、実施の形態1と同じである。

[0100] つまり、復号装置30は、数124に示すDecアルゴリズムを実行して、暗号文 $ct_{ID'}$ を復号鍵 sk_{ID} により復号する。

[数124]

Dec(pk, sk_{tag,S}, ct_{tag',Γ}):

if (tag = tag') and S accepts Γ,

then compute

$$\{\sigma_i\}_{\rho(i) \in \Gamma} \text{ such that } \vec{1} = \sum_{\rho(i) \in \Gamma} \sigma_i M_i$$

where M_i is the i -th row of M ,

$$z' = \prod_{t:=\rho(i) \in \Gamma} e_t(k_i, c_t)^{\sigma_i}, m' := c_T \cdot (z')^{-1},$$

return m' .otherwise, return \perp .

[0101] 数125に示すように、ステップS43で暗号文 $ct_{tag', \Gamma}$ を復号鍵 $sk_{tag, S}$ で復号可能である。

[数125]

$$\begin{aligned} z' &= \prod_{t:=\rho(i) \in \Gamma} e_t(k_i, c_t)^{\sigma_i} \\ &= \prod_{t:=\rho(i) \in \Gamma} e_t(\phi_t(h_0)^{s_i}, \hat{g}_t^{\zeta})^{\sigma_i} \\ &= \prod_{t:=\rho(i) \in \Gamma} e_t(\phi_t(h_0), \hat{g}_t)^{\zeta \sigma_i s_i} \\ &= \prod_{t:=\rho(i) \in \Gamma} e_0(h_0, \hat{g}_0)^{\zeta \sigma_i s_i} \\ &= \prod_{t:=\rho(i) \in \Gamma} e_0(h_0, \hat{g}_0)^{\zeta} \\ &= z \end{aligned}$$

[0102] ***実施の形態2の効果***

以上のように、実施の形態2に係る暗号システム1は、IPGを用いてABE方式を実現する。ここで、鍵生成装置10によって生成されるマスター秘密鍵 $sk := \phi_t$ は、実施の形態1と同様に耐量子性を有している。そのため、量子計算機によってでも、マスター秘密鍵 sk が破られることがない。

[0103] 実施の形態3.

実施の形態3では、どの部分ユニバース識別子 t についても属性 $x_t := (x_{t,j})_{j \in [n]}$ がユニバース $U := \{0, 1\}^n$ の要素である場合における ABE方式について説明する。実施の形態3では、実施の形態2と異なる点を説明する。

[0104] 実施の形態3では、ABEの小さなユニバースの2つのインスタンス $t \in [d]$ 及び $j \in [n]$ についての階層的な構造が用いられる。そして、実施の形態3では、下位の階層のインスタンスにおいて、 $n - \text{out} - \text{of} - 2n$ の秘密共有述語の特別な形態が、長さ n の2値の識別子 x_t に対する識別子マッチングに用いられる。

[0105] ***動作の説明***

図16から図18と、図6から図10とを参照して、実施の形態3に係る暗号システム1の動作を説明する。

実施の形態3に係る暗号システム1の動作は、実施の形態3に係る暗号方法に相当する。また、実施の形態3に係る暗号システム1の動作は、実施の形態3に係る暗号プログラムの処理に相当する。

[0106] 図16及び図6を参照して、実施の形態3に係る Setup アルゴリズムを説明する。

Setup アルゴリズムは、鍵生成装置10によって実行される。

[0107] (ステップS11: IPG生成処理)

マスター鍵生成部14は、入出力インタフェース13を介してセキュリティパラメータ 1^λ の入力を受け付ける。マスター鍵生成部14は、受け付けられたセキュリティパラメータ 1^λ と、1以上の整数 d 及び1以上の整数 n についての整数 $2dn$ とを入力として、IPG生成アルゴリズム $\text{Gen}^{\text{IPG}}(1^\lambda, 2dn)$ を実行して、数126に示す公開パラメータ $p k^{\text{IPG}}$ とマスター秘密鍵 $s k^{\text{IPG}}$ とのマスター鍵ペアを生成する。

[数126]

$$\begin{aligned}
 (\text{pk}^{\text{IPG}} := & ((\mathbb{G}_0, \hat{\mathbb{G}}_0, g_0, \hat{g}_0, e_0), \\
 & (\mathbb{G}_{t,j,\iota}, \hat{\mathbb{G}}_{t,j,\iota}, g_{t,j,\iota}, \hat{g}_{t,j,\iota}, e_{t,j,\iota})_{\substack{t \in [d], j \in [n], \\ \iota \in [0,1]}}, \mathbb{G}_T)), \\
 \text{sk}^{\text{IPG}} := & (\phi_{t,j,\iota})_{\substack{t \in [d], j \in [n], \\ \iota \in [0,1]}} \\
 & \longleftarrow^{\text{R}} \text{Gen}^{\text{IPG}}(1^\lambda, d)
 \end{aligned}$$

[0108] つまり、実施の形態1では、 $t = 0, 1, \dots, d$ と $j = 1, \dots, n$ と $\iota = 0, 1$ についての群 $G_{t,j,\iota}$ 及び群 $\hat{G}_{t,j,\iota}$ とペアリング演算 e_t と、群 G_T と、 $t = 1, \dots, d$ と $j = 1, \dots, n$ と $\iota = 0, 1$ についての同種写像 $\phi_{t,j,\iota}$ とが生成される。つまり、 $2dn + 1$ 個のペアリング群が用いられる。

ここで、 $t = 1, \dots, d$ と $j = 1, \dots, n$ と $\iota = 0, 1$ の群 $G_{t,j,\iota}$ 及び群 $\hat{G}_{t,j,\iota}$ に属性が設定される。したがって、整数 d, n の値は、設定したい属性の数に応じて決定される。

[0109] (ステップS12: ハッシュ関数生成処理)

実施の形態1と同様に、マスター鍵生成部14は、ハッシュ関数Hを生成する。

[0110] (ステップS13: マスター鍵生成処理)

マスター鍵生成部14は、ステップS11で生成された公開パラメータ pk^{IPG} と、ステップS12で生成されたハッシュ関数Hとを用いて、公開パラメータ $\text{pk} := ((G_t, \hat{G}_t, g_t, \hat{g}_t, e_t)_{t \in [0, d], j \in [n], \iota \in [0, 1]}, G_T, H)$ を生成する。鍵出力部16は、公開パラメータ pk を入出力インタフェース13を介して

外部の公開用サーバ等へ出力することにより、公開パラメータ pk を暗号化装置20及び復号装置30に出力する。

また、マスター鍵生成部14は、ステップS11で生成されたマスター秘密鍵 sk^{IPG} を用いて、マスター秘密鍵 $\text{sk} := (\phi_{t,j,\iota})_{t \in [d], j \in [n], \iota \in [0, 1]}$ を生成する。マスター鍵生成部14は、生成されたマスター秘密鍵

sk を記憶装置 12 に書き込む。

[0111] つまり、マスター鍵生成部 14 は、数 127 に示す Setup アルゴリズムを実行して、マスター鍵ペアを生成する。

[数127]

Setup(1^λ):

$$(\text{pk}^{\text{IPG}} := ((G_0, \hat{G}_0, g_0, \hat{g}_0, e_0), \\ (\mathbb{G}_{t,j,l}, \hat{\mathbb{G}}_{t,j,l}, g_{t,j,l}, \hat{g}_{t,j,l}, e_{t,j,l})_{\substack{t \in [d], j \in [n] \\ l \in [0,1]}}, \mathbb{G}_T)),$$

$$\text{sk}^{\text{IPG}} := (\phi_{t,j,l})_{\substack{t \in [d], j \in [n] \\ l \in [0,1]}}$$

$$\xleftarrow{R} \text{Gen}^{\text{IPG}}(1^\lambda, d),$$

generate a random hash $H : \mathbb{F}_q \rightarrow G_0$ with the identity space \mathbb{F}_q ,

$$\text{return pk} := ((G_0, \hat{G}_0, \hat{g}_0, e_0), (\mathbb{G}_{t,j,l}, \hat{\mathbb{G}}_{t,j,l}, \hat{g}_{t,j,l}, e_{t,j,l})_{\substack{t \in [d], j \in [n] \\ l \in [0,1]}}, \\ \mathbb{G}_T, H),$$

$$\text{sk} := (\phi_{t,j,l})_{\substack{t \in [d], j \in [n] \\ l \in [0,1]}}.$$

[0112] 図 16 及び図 8 を参照して、実施の形態 2 に係る KeyGen アルゴリズムを説明する。

KeyGen アルゴリズムは、鍵生成装置 10 によって実行される。

[0113] ステップ S21 の処理は、実施の形態 2 と同じである。

[0114] (ステップ S22 : 鍵要素生成処理)

復号鍵生成部 15 は、ステップ S21 で受け付けられた入力タグ tag を入力として、公開パラメータ pk に含まれるハッシュ関数 H を計算して、群 G_0 の要素である要素 h_0 を生成する。

復号鍵生成部 15 は、 $1 \rightarrow \cdot u \rightarrow = 1$ であるベクトル $u \rightarrow$ をランダムに選択する。復号鍵生成部 15 は、 $i \in [L]$ に対して、 $s_i := M_i \cdot u \rightarrow$ とし、 $s_i = \sum_{j=1}^n \tau_{i,j}$ である乱数 $\tau \rightarrow := (\tau_{i,j})$ を選択する。復号鍵生成部 15 は、乱数 $\tau \rightarrow$ を用いて、数 128 に示すように、マスター秘密鍵 sk に含まれる同種写像 $\phi_{t,j,l}$ で要素 h_0 を変換して、要素 $k_{i,j}$ を生成する。

[数128]

if $\rho(i) = (t, v_i := (v_{i,j}) \in \{0,1\}^n)$,

$$k_{i,j} := \phi_{t,j,v_{i,j}}(h_0)^{\tau_{i,j}}$$

[0115] (ステップS 2 3 : 鍵要素出力処理)

鍵出力部 1 6 は、ステップS 2 1 で受け付けられた入力タグ t a g 及びアクセスストラクチャ S と、ステップS 2 2 で生成された $i \in [L]$ 及び $j \in [n]$ についての要素 $k_{i,j}$ とを鍵要素とする復号鍵 $sk_{tag,S}$ を、入出力インタフェース 1 3 を介して復号装置 3 0 に出力する。この際、鍵出力部 1 6 は、何らかの暗号方式で暗号化するという方法により、復号鍵 $sk_{tag,S}$ が第三者に漏えいしないようにする。

[0116] つまり、復号鍵生成部 1 5 は、数 1 2 9 に示す Key Gen アルゴリズムを実行して、復号鍵 $sk_{tag,S}$ を生成する。

[数129]

KeyGen(pk,sk,tag,S := (M, ρ)):

$$h_0 := H(\text{tag}) \in \mathbb{G}_0,$$

choose random \vec{u} such that $\vec{1} \cdot \vec{u} = 1$,

for $i \in [L]$,

$$s_i := M_i \cdot \vec{u},$$

choose random $\vec{\tau}_i := (\tau_{i,j})$ such that $s_i := \sum_{j=1}^n \tau_{i,j}$,

if $\rho(i) = (t, v_i := (v_{i,j}) \in \{0,1\}^n)$,

$$k_{i,j} := \phi_{t,j,v_{i,j}}(h_0)^{\tau_{i,j}},$$

return $sk_{tag,S} := (\text{tag}, S, \{k_{i,j}\}_{i \in [L], j \in [n]})$.

[0117] 図 1 7 及び図 9 を参照して、実施の形態 2 に係る Enc アルゴリズムを説明する。

Enc アルゴリズムは、暗号化装置 2 0 によって実行される。

[0118] ステップS 3 1 の処理は、実施の形態 2 と同じである。

[0119] (ステップS 3 2 : 暗号文生成処理)

暗号文生成部25は、ステップS31で受け付けられた入力タグ $t_{ag'}$ を入力として、公開パラメータ p_k に含まれるハッシュ関数 H を計算して、群 G_0 の要素である要素 h_0 を生成する。また、暗号文生成部25は、一様乱数 ζ を生成する。

暗号文生成部25は、属性集合 Γ に含まれる $(t, x_t := (x_{t,j}) \in \{0, 1\}^n) \in \Gamma$ の各整数 t 及び各整数 j について、一様乱数 ζ を用いて、数130に示す要素 $c_{t,j}$ を生成する。

[数130]

$$c_{t,j} := \hat{g}_{t,j,x_{t,j}}^{\zeta}$$

また、暗号文生成部25は、要素 h_0 及び一様乱数 ζ を用いて、数131に示す要素 z を生成する。そして、暗号文生成部25は、ステップS31で受け付けられたメッセージ m と、要素 z を用いて要素 $c_T := z \cdot m$ を生成する。

[数131]

$$z := e_0(h_0, \hat{g}_0)^{\zeta}$$

[0120] (ステップS33：暗号文出力処理)

暗号文出力部26は、ステップS31で受け付けられた入力タグ $t_{ag'}$ 及び属性集合 Γ と、ステップS32で生成された属性集合 Γ に含まれる各整数 t 及び $j \in [n]$ についての要素 $c_{t,j}$ 及び要素 c_T とを暗号要素とする暗号文 $c_{t_{ag'}, \Gamma}$ を、入出力インタフェース23を介して復号装置30に出力する。

[0121] つまり、暗号化装置20は、数132に示す Enc アルゴリズムを実行して、暗号文 $c_{t_{ag'}, \Gamma}$ を生成する。

[数132]

Enc(pk, m, tag', Γ):

$$h_0 := H(\text{tag}') \in \mathbb{G}_0, \zeta \xleftarrow{U} \mathbb{F}_q,$$

$$\text{for } (t, x_t := (x_{i,j}) \in \{0,1\}^n) \in \Gamma, c_{t,j} := \hat{g}_{t,j,x_{t,j}}^\zeta,$$

$$z := e_0(h_0, \hat{g}_0)^\zeta, c_T := z \cdot m,$$

$$\text{return } \text{ct}_{\text{tag}', \Gamma} := (\text{tag}', \Gamma, \{c_{t,j}\}_{(t,\cdot) \in \Gamma, j \in [n]}, c_T).$$

[0122] 図18及び図10を参照して、実施の形態2に係るDecアルゴリズムを説明する。

Decアルゴリズムは、復号装置30によって実行される。

[0123] ステップS41からステップS42の処理は、実施の形態2と同じである。

[0124] (ステップS43:復号処理)

復号部35は、数133を満たす補完係数 α_i を計算する。

[数133]

$$\vec{1} = \sum_{\rho(i) \in \Gamma} \sigma_i M_i$$

復号部35は、計算された補完係数 α_i を用いて、ステップS41で受け付けられた復号鍵 $sk_{\text{tag}, s}$ に含まれる要素 $k_{i,j}$ と、暗号文 $ct_{\text{tag}', \Gamma}$ に含まれる暗号要素 $c_{t,j}$ について数134に示すペアリング演算を行い、要素 z' を計算する。

[数134]

$$z' = \prod_{\rho(i)=(t,(v_{i,j})) \in \Gamma} \left(\prod_{j=1}^n e_{t,j,v_{i,j}}(k_{i,j}, c_{t,j}) \right)^{\sigma_i}$$

復号部35は、計算された要素 z' を用いて、メッセージ $m' := c_T \cdot (z')^{-1}$ を計算する。

[0125] ステップS44からステップS45の処理は、実施の形態2と同じである

。

[0126] つまり、復号装置30は、数135に示すDecアルゴリズムを実行して、暗号文 $ct_{ID'}$ を復号鍵 sk_{ID} により復号する。

[数135]

Dec(pk, $sk_{tag,S}$, $ct_{tag',\Gamma}$):

if (tag = tag') and S accepts Γ ,

then compute

$$\{\sigma_i\}_{\rho(i)\in\Gamma} \text{ such that } \vec{1} = \sum_{\rho(i)\in\Gamma} \sigma_i M_i$$

where M_i is the i -th row of M ,

$$z' = \prod_{\rho(i)=(t,(v_{i,j}))\in\Gamma} \left(\prod_{j=1}^n e_{t,j,v_{i,j}}(k_{i,j},c_{t,j}) \right)^{\sigma_i},$$

$$m' := c_T \cdot (z')^{-1},$$

return m' .

otherwise, return \perp .

[0127] 数136に示すように、ステップS43で暗号文 $ct_{tag',\Gamma}$ を復号鍵 $sk_{tag,S}$ で復号可能である。

[数136]

$$\begin{aligned} z' &= \prod_{\rho(i)=(t,(v_{i,j}))\in\Gamma} \left(\prod_{j=1}^n e_{t,j,v_{i,j}}(k_{i,j},c_{t,j}) \right)^{\sigma_i} \\ &= \prod_{\rho(i)=(t,(v_{i,j}))\in\Gamma} \left(\prod_{j=1}^n e_{t,j,v_{i,j}}(\phi_{t,j,v_{i,j}}(h_0)^{\tau_{i,j}}, \hat{g}_{t,j,v_{i,j}}^{\zeta}) \right)^{\sigma_i} \\ &= \prod_{\rho(i)=(t,\cdot)\in\Gamma} \left(\prod_{j=1}^n e_0(h_0, \hat{g}_0)^{\zeta \tau_{i,j}} \right)^{\sigma_i} \\ &= \prod_{\rho(i)=(t,\cdot)\in\Gamma} \left(e_0(h_0, \hat{g}_0)^{\zeta s_i} \right)^{\sigma_i} \\ &= z \end{aligned}$$

[0128] ***実施の形態3の効果***

以上のように、実施の形態3に係る暗号システム1は、IPGを用いて大きいユニバースについてのABE方式を実現する。ここで、鍵生成装置10によって生成されるマスター秘密鍵 $s_k := \phi_t$ は、実施の形態2と同様に耐量子性を有している。そのため、量子計算機によってでも、マスター秘密鍵 s_k が破られることがない。

[0129] 実施の形態4.

実施の形態4では、階層的なIBE（以下、HIBE）方式について説明する。実施の形態4では、実施の形態1と異なる点を説明する。

[0130] ***動作の説明***

図3から図9を参照して、実施の形態4に係る暗号システム1の動作を説明する。

実施の形態4に係る暗号システム1の動作は、実施の形態4に係る暗号方法に相当する。また、実施の形態4に係る暗号システム1の動作は、実施の形態4に係る暗号プログラムの処理に相当する。

[0131] 図3及び図6を参照して、実施の形態1に係るSetupアルゴリズムを説明する。

Setupアルゴリズムは、鍵生成装置10によって実行される。

[0132] ステップS11の処理は、実施の形態1と同じである。

[0133] （ステップS12：ハッシュ関数生成処理）

マスター鍵生成部14は、 $t = 0, 1$ について、識別子の空間である体 F_q の要素を、群 G_t の要素に変換するランダムなハッシュ関数 H_t を生成する。

[0134] （ステップS13：マスター鍵生成処理）

マスター鍵生成部14は、ステップS11で生成された公開パラメータ p, k^{IPG} と、ステップS12で生成されたハッシュ関数 H とを用いて、公開パラメータ $p_k := ((G_{t=0, 1}, G^{\wedge}_{t=0, 1}, g^{\wedge}_{t=0, 1}, e_{t=0, 1}, H_{t=0, 1})_{t=0, 1}, G_T)$ を生成する。鍵出力部16は、公開パラメータ p_k を入出力インタフェース13を介して外部の公開用サー

バ等へ出力することにより、公開パラメータ pk を暗号化装置 20 及び復号装置 30 に出力する。

また、マスター鍵生成部 14 は、ステップ S 11 で生成されたマスター秘密鍵 sk^{IPG} を用いて、マスター秘密鍵 $sk := \phi_1$ を生成する。マスター鍵生成部 14 は、生成されたマスター秘密鍵 sk を記憶装置 12 に書き込む。

[0135] つまり、マスター鍵生成部 14 は、数 137 に示す $Setup$ アルゴリズムを実行して、マスター鍵ペアを生成する。

[数137]

$Setup(1^\lambda)$:

$$(pk^{IPG} := ((G_t, \hat{G}_t, g_t, \hat{g}_t, e_t)_{t=0,1}, G_T)), sk^{IPG} := \phi_1)$$

$$\xleftarrow{R} \text{Gen}^{IPG}(1^\lambda, 1),$$

generate a random hash $H_t : \mathbb{F}_q \rightarrow G_0$ with the identity space \mathbb{F}_q ,

return $pk := ((G_t, \hat{G}_t, \hat{g}_t, e_t, H_t)_{t=0,1}, G_T), sk := \phi_1$.

[0136] 図 3 及び図 8 を参照して、実施の形態 4 に係る $KeyGen$ アルゴリズムを説明する。

$KeyGen$ アルゴリズムは、鍵生成装置 10 によって実行される。

[0137] (ステップ S 21 : ID 受付処理)

復号鍵生成部 15 は、入出力インタフェース 13 を介して、復号鍵 sk_{ID} を使用するユーザの識別子 ID の入力を受け付ける。ここでは、識別子 ID は、 $i \in [j]$ についての ID_i から構成される。 j は、2 以上の整数である。

[0138] (ステップ S 22 : 鍵要素生成処理)

復号鍵生成部 15 は、 $i \in [j - 1]$ について、数 138 に示すように、要素 d_i を生成する。

[数138]

$$r_i \xleftarrow{U} \mathbb{F}_q,$$

$$\hat{d}_i := \hat{g}_1^{r_i} \in \hat{G}_1$$

復号鍵生成部 15 は、ステップ S 2 1 で受け付けられた識別子 ID を構成する ID_1 を入力として、公開パラメータ p_k に含まれるハッシュ関数 H_0 を計算して、群 G_0 の要素である要素 h_1 を生成する。また、復号鍵生成部 15 は、 $i \in [2, j]$ について、識別子 ID を構成する ID_1, \dots, ID_i を入力として、公開パラメータ p_k に含まれるハッシュ関数 H_1 を計算して、群 G_1 の要素である要素 h_i を生成する。そして、復号鍵生成部 15 は、数 139 に示すように、マスター秘密鍵 s_k に含まれる同種写像 ϕ_1 で要素 h_1 を変換した要素 d_j を生成する。

[数139]

$$d_j := \phi_1(h_1) \cdot \prod_{i=2}^j h_i^{r_{i-1}}$$

[0139] (ステップ S 2 3 : 鍵要素出力処理)

鍵出力部 16 は、ステップ S 2 1 で受け付けられた識別子 ID と、ステップ S 2 2 で生成された、 $i \in [j-1]$ についての要素 d_i 及び要素 d_j とを鍵要素とする復号鍵 $s_{k_{ID}}$ を、入出力インタフェース 13 を介して復号装置 30 に出力する。この際、鍵出力部 16 は、何らかの暗号方式で暗号化するという方法により、復号鍵 $s_{k_{ID}}$ が第三者に漏えいしないようにする。

[0140] つまり、復号鍵生成部 15 は、数 140 に示す $KeyGen$ アルゴリズムを実行して、復号鍵 $s_{k_{ID}}$ を生成する。

[数140]

KeyGen(pk, sk, $(ID_i)_{i \in [j]}$):
 for $i \in [j-1]$,
 $r_i \xleftarrow{U} \mathbb{F}_q$, $\hat{d}_i := \hat{g}_1^{r_i} \in \hat{\mathbb{G}}_1$
 $h_1 := H_0(ID_1) \in \mathbb{G}_0$,
 for $i \in [2, j]$,
 $h_i := H_1(ID_1, \dots, ID_i) \in \mathbb{G}_1$,
 $d_j := \phi_1(h_1) \cdot \prod_{i=2}^j h_i^{r_{i-1}}$
 return $sk_{ID} := ((ID_i)_{i \in [j]}, (\hat{d}_i \in \hat{\mathbb{G}}_1)_{i \in [j-1]}, d_j \in \mathbb{G}_1)$.

[0141] 図4及び図9を参照して、実施の形態1に係るEncアルゴリズムを説明する。

Encアルゴリズムは、暗号化装置20によって実行される。

[0142] (ステップS31: 入力受付処理)

入力受付部24は、入出力インタフェース23を介して、鍵生成装置10によって生成された公開パラメータpkと、暗号化対象のメッセージmと、復号条件となる識別子ID'との入力を受け付ける。ここでは、識別子ID'は、 $i \in [j]$ についてのID'から構成される。

[0143] (ステップS32: 暗号文生成処理)

暗号文生成部25は、一様乱数 ζ を生成する。暗号文生成部25は、一様乱数 ζ を用いて、数141に示す要素 \hat{c}_0 を生成する。

[数141]

$$\hat{c}_0 := \hat{g}_1^\zeta$$

暗号文生成部25は、 $i \in [2, j]$ について、識別子IDを構成するID'1, . . . , ID'jを入力として、公開パラメータpkに含まれるハッシュ関数H1を計算して、群G1の要素である要素hiを生成する。暗号文生成部25は、要素hiを用いて、数142に示す要素ciを生成する。

[数142]

$$c_i := h_i^\zeta$$

暗号文生成部25は、ステップS31で受け付けられた識別子ID'を構成するID'1を入力として、公開パラメータpkに含まれるハッシュ関数H0を計算して、群G0の要素である要素h1を生成する。また、暗号文生成部25は、要素h1及び一様乱数ζを用いて、数143に示す要素zを生成する。そして、暗号文生成部25は、ステップS31で受け付けられたメッセージmと、要素zを用いて要素cT := z · mを生成する。

[数143]

$$z := e_0(h_1, \hat{g}_0)^\zeta$$

[0144] (ステップS33: 暗号文出力処理)

暗号文出力部26は、ステップS31で受け付けられた識別子ID'と、ステップS32で生成された要素c0, (ci) i∈[2, j], cTとを暗号要素とする暗号文ctID'を、入出力インタフェース23を介して復号装置30に出力する。

[0145] つまり、暗号化装置20は、数144に示すEncアルゴリズムを実行して、暗号文ctID'を生成する。

[数144]

Enc(pk, m, (ID'i) i∈[j]):

$$\zeta \xleftarrow{U} \mathbb{F}_q^X, \hat{c}_0 := \hat{g}_1^\zeta,$$

for i ∈ [2, j],

$$h_i := H_1(\text{ID}'_1, \dots, \text{ID}'_i) \in \mathbb{G}_1, c_i := h_i^\zeta,$$

$$h_1 := H_0(\text{ID}'_1) \in \mathbb{G}_0, z := e_0(h_1, \hat{g}_0)^\zeta, c_T := z \cdot m,$$

$$\text{return } \text{ct}_{\text{ID}'} := ((\text{ID}'_i)_{i \in [j]}, \hat{c}_0 \in \hat{\mathbb{G}}_1, (c_i \in \hat{\mathbb{G}}_1)_{i \in [2, j]}, c_T).$$

[0146] 図5及び図10を参照して、実施の形態1に係るDecアルゴリズムを説明する。

Decアルゴリズムは、復号装置30によって実行される。

[0147] ステップS41からステップS42の処理は、実施の形態1と同じである。

[0148] (ステップS43:復号処理)

復号部35は、ステップS41で受け付けられた復号鍵 sk_{ID} に含まれる要素 d_j 及び要素 d_j と、暗号文 $ct_{ID'}$ に含まれる要素 c_0 及び要素 c_i とについて数145に示す演算を行い、要素 z' を計算する。復号部35は、計算された要素 z' を用いて、メッセージ $m' := c_T \cdot (z')^{-1}$ を計算する。

[数145]

$$z' := \frac{e_1(d_j, \hat{c}_0)}{\prod_{i=2}^j e_1(c_i, \hat{d}_{i-1})}$$

[0149] ステップS44からステップS45の処理は、実施の形態1と同じである。

[0150] つまり、復号装置30は、数146に示すDecアルゴリズムを実行して、暗号文 $ct_{ID'}$ を復号鍵 sk_{ID} により復号する。

[数146]

Dec(pk, sk_{ID} , $ct_{ID'}$):

if ($ID_i = ID'_i$),

$$z' := \frac{e_1(d_j, \hat{c}_0)}{\prod_{i=2}^j e_1(c_i, \hat{d}_{i-1})}, m' := c_T \cdot (z')^{-1},$$

return m' .

otherwise, return \perp .

[0151] 数147に示すように、ステップS43で暗号文 $ct_{tag', r}$ を復号鍵 $sk_{tag, s}$ で復号可能である。

[数147]

$$\begin{aligned}
 z' &:= \frac{e_1(d_j, \hat{c}_0)}{\prod_{i=2}^j e_1(c_i, \hat{d}_{i-1})} \\
 &= \frac{e_1(\phi_1(h_1) \cdot \prod_{i=2}^j h_i^{r_{i-1}}, \hat{g}_1^\zeta)}{\prod_{i=2}^j e_1(h_i^\zeta, \hat{g}_1^{r_{i-1}})} \\
 &= e_1(\phi_1(h_1) \cdot \hat{g}_1)^\zeta \\
 &= e_0(h_1 \cdot \hat{g}_0)^\zeta \\
 &= z
 \end{aligned}$$

[0152] ***実施の形態4の効果***

以上のように、実施の形態4に係る暗号システム1は、IPGを用いてHIBE方式を実現する。ここで、鍵生成装置10によって生成されるマスター秘密鍵 $sk := \phi_t$ は、実施の形態1と同様に耐量子性を有している。そのため、量子計算機によってでも、マスター秘密鍵 sk が破られることがない。

[0153] 実施の形態5.

実施の形態5では、IPG生成アルゴリズム $Gen^{IPG}(1^\lambda, d)$ について、楕円曲線を用いて具体的に説明する。

[0154] ***動作の説明***

図19を参照して、実施の形態5に係るIPG生成アルゴリズム $Gen^{IPG}(1^\lambda, d)$ の処理を説明する。

[0155] (ステップS51：要素生成処理)

マスター鍵生成部14は、十分に大きい、奇素数 p についての超楕円曲線 E_0 / F_{p^2}

(ここで、 p^2 は p^2) をランダムに生成する。

マスター鍵生成部14は、適切な (L, κ) と、楕円曲線 E_0 の部分群から構成される位数 r の非対称ペアリング群 $(G_0, \hat{G}_0, G_T; e_0)$ を生成する。 e_0 は、楕円曲線 E_0 におけるヴェイユペアリング $e_{weil, 0}$ から、どの $h_0 \in G_0$ 及び $\hat{h}_0 \in \hat{G}_0$ に対しても $e_0(h_0, \hat{h}_0) := e_{weil, 0}(h$

$o, h^{\wedge}_o)$ Ψ と定義される。 $\Psi = (L^{\sim})^{\kappa}$ である。

マスター鍵生成部14は、群 G_o から要素 g_o を一様に選択し、群 G^{\wedge}_o から要素 g^{\wedge}_o を一様に選択する。

[0156] (ステップS52:同種生成処理)

マスター鍵生成部14は、アルゴリズム $Isog_{L^{\sim}, \kappa}(E_o)$ を実行して、 $t \in [d]$ について、楕円曲線 E_o と同種となる楕円曲線 E_t と、楕円曲線 E_o から楕円曲線 E_t への同種写像を計算するためのトラップドア ξ_t とをランダムに生成する。アルゴリズム $Isog_{L^{\sim}, \kappa}(E_o)$ として、図20に示す非特許文献3に記載された $Isog_{L^{\sim}, \kappa}^{dip}$ アルゴリズムを用いることができる。また、アルゴリズム $Isog_{L^{\sim}, \kappa}(E_o)$ として、図21に示す非特許文献4, 5に記載された $Isog_{L^{\sim}, \kappa}^{clg}$ アルゴリズムを用いることができる。

[0157] (ステップS53:同種要素生成処理)

マスター鍵生成部14は、ステップS52で生成された楕円曲線 E_t 及びトラップドア ξ_t を用いて、 $\phi_t := \phi_{\xi_t}$ と、 $G_t := \phi_t(G_o)$ 及び $G^{\wedge}_t := \phi_t(G^{\wedge}_o)$ と、 $g_t := \phi_t(g_o)$ 及び $g^{\wedge}_t := \phi_t(g^{\wedge}_o)$ と、 $h_t \in G_t$ 及び $h^{\wedge}_t \in G^{\wedge}_t$ に対して $e_t(h_t, h^{\wedge}_t) := e_{weil, t}(h_t, h^{\wedge}_t)$ と設定する。ここで、 $e_{weil, t}$ は、楕円曲線 E_t におけるヴェイユペアリングである。

[0158] (ステップS54:要素出力処理)

マスター鍵生成部14は、ステップS51及びステップS53で生成された $(G_t, G^{\wedge}_t, g_t, g^{\wedge}_t, e_t)_{t \in [0, d]}$ 、 G_T を公開パラメータ pk^{IPG} とし、 $(\phi_t)_{t \in [d]}$ に対する $(\xi_t)_{t \in [d]}$ をマスター秘密鍵 sk^{IPG} として出力する。

[0159] つまり、 IPG 生成アルゴリズム $Gen^{IPG}(1^\lambda, d)$ は、数148に示す通りである。

[数148]

Gen^{IPG}($1^\lambda, d$):Generate a random supersingular elliptic curve E_0/\mathbb{F}_{p^2} with a sufficiently large, odd prime p , generate a suitable (\tilde{L}, κ) , $(\mathbb{G}_0, \hat{\mathbb{G}}_0, \mathbb{G}_T; e_0)$: a system of asymmetric pairing groups of order r from subgroups of E_0 , where e_0 is defined by $e_0(h_0, \hat{h}_0) := e_{\text{weil},0}(h_0, \hat{h}_0)^{\tilde{L}^\kappa}$ for any $h_0 \in \mathbb{G}_0, \hat{h}_0 \in \hat{\mathbb{G}}_0$, from the Weil pairing $e_{\text{weil},0}$ on E_0 $g_0 \xleftarrow{U} \mathbb{G}_0, \hat{g}_0 \xleftarrow{U} \hat{\mathbb{G}}_0,$ for $t \in [d]$, $(E_t, \xi_t) \xleftarrow{R} \text{Isog}_{\tilde{L}, \kappa}(E_0),$ $\phi_t := \phi_{\xi_t}, \mathbb{G}_t := \phi_t(\mathbb{G}_0), \hat{\mathbb{G}}_t := \phi_t(\hat{\mathbb{G}}_0), g_t := \phi_t(g_0), \hat{g}_t := \phi_t(\hat{g}_0),$ $e_t(h_t, \hat{h}_t) := e_{\text{weil},t}(h_t, \hat{h}_t)$ for any $h_t \in \mathbb{G}_t, \hat{h}_t \in \hat{\mathbb{G}}_t,$ where $e_{\text{weil},t}$ is the Weil pairing $e_{\text{weil},t}$ on E_t ,return $\text{pk}^{\text{IPG}} := ((\mathbb{G}_t, \hat{\mathbb{G}}_t, g_t, \hat{g}_t, e_t)_{t \in [0,d]}, \mathbb{G}_T),$ $\text{sk}^{\text{IPG}} := (\xi_t)_{t \in [d]}$ for $(\phi_t)_{t \in [d]}$.

[0160] ***実施の形態5の効果***

以上のように、実施の形態5に係る暗号システム1では、楕円曲線を用いてIPG生成アルゴリズムGen^{IPG}($1^\lambda, d$)を実現できる。

[0161] 実施の形態6.

実施の形態1~4では、記載を単純化し、理解を容易にするために、楕円曲線を用いた詳細な記載を省略した。実施の形態6では、楕円曲線を用いた具体的な構成について説明する。実施の形態6では、実施の形態1で説明したIBE方式と、実施の形態2で説明したABE方式とについて説明する。

実施の形態3で説明したABE方式と、実施の形態4で説明したHIBE方式とについても、同様の方法により、楕円曲線を用いた具体的な構成とすることが可能である。

[0162] ***動作の説明***

実施の形態 1 で説明した I B E 方式について説明する。

S e t u p アルゴリズムは、数 1 4 9 のようになる。

[数149]

Setup(1^λ):

Generate a random supersingular elliptic curve E_0/\mathbb{F}_{p_2}

with a sufficiently large, odd prime p , generate a suitable (\tilde{L}, κ) ,

$(\mathbb{G}_0, \hat{\mathbb{G}}_0, \mathbb{G}_T; e_0)$: a system of asymmetric pairing groups of order r from subgroups of E_0 , where e_0 is defined by $e_0(h_0, \hat{h}_0) := e_{\text{weil},0}(h_0, \hat{h}_0)^{\tilde{L}\kappa}$

for any $h_0 \in \mathbb{G}_0, \hat{h}_0 \in \hat{\mathbb{G}}_0$, from the Weil pairing $e_{\text{weil},0}$ on E_0

$(E_1, \xi_1) \xleftarrow{\text{R}} \text{Isog}_{\tilde{L}, \kappa}(E_0)$,

$\phi_1 := \phi_{\xi_1}, \mathbb{G}_1 := \phi_1(\mathbb{G}_0), \hat{\mathbb{G}}_1 := \phi_1(\hat{\mathbb{G}}_0)$,

$e_1(h_1, \hat{h}_1) := e_{\text{weil},1}(h_1, \hat{h}_1)$ for any $h_1 \in \mathbb{G}_1, \hat{h}_1 \in \hat{\mathbb{G}}_1$,

where $e_{\text{weil},1}$ is the Weil pairing $e_{\text{weil},1}$ on E_1 ,

$\hat{g}_0 \xleftarrow{\text{U}} \hat{\mathbb{G}}_0, \hat{g}_1 := \phi_1(\hat{g}_0)$,

generate a random hash $H: \mathbb{F}_q \rightarrow \mathbb{G}_0$ with the identity space \mathbb{F}_q ,

return $\text{pk} := ((\mathbb{G}_t, \hat{\mathbb{G}}_t, \hat{g}_t, e_t)_{t=0,1}, \mathbb{G}_T, H)$, $\text{sk} := \xi_1$ for ϕ_1 .

[0163] K e y G e n アルゴリズムは、数 1 5 0 のようになる。

[数150]

KeyGen(pk, sk, ID):

$h_0 := H(\text{ID}) \in \mathbb{G}_0, h_1 := \phi_1(h_0)$,

return $\text{sk}_{\text{ID}} := (\text{ID}, h_1)$.

[0164] E n c アルゴリズムは、数 1 5 1 のようになる。

[数151]

Enc(pk, m, ID'):

$$h_0 := H(\text{ID}'), \zeta \leftarrow \overset{\text{U}}{\mathbb{F}_q^X},$$

$$c := \zeta \cdot \hat{g}_1, z := e_0(h_0, \hat{g}_0) \zeta \cdot \tilde{L}^k, c_T := z \cdot m,$$

$$\text{return ct}_{\text{ID}'} := (\text{ID}', c, c_T).$$

[0165] Dec アルゴリズムは、数 152 のようになる。

[数152]

Dec(pk, sk_{ID}, ct_{ID'}):

if (ID = ID'),

$$z' := e_1(h_1, c), m' := c_T \cdot (z')^{-1},$$

return m'.

otherwise, return \perp .[0166] 数 153 に示すように、暗号文 $\text{ct}_{\text{ID}'}$ を復号鍵 sk_{ID} で復号可能である。ここで、 $\deg(\phi_1) = L \sim \kappa$ である。

[数153]

$$z' := e_1(h_1, c)$$

$$= e_{\text{weil},1}(h_1, c)$$

$$= e_{\text{weil},1}(\phi_1(h_0), \zeta \cdot \hat{g}_1)$$

$$= e_{\text{weil},1}(\phi_1(h_0), \phi_1(\hat{g}_0)) \zeta$$

$$= e_{\text{weil},0}(h_0, \hat{g}_0) \tilde{L}^k \zeta$$

$$= e_0(h_0, \hat{g}_0) \zeta$$

$$= z$$

[0167] 実施の形態 2 で説明した ABE 方式について説明する。

Setup アルゴリズムは、数 154 のようになる。

[数154]

Setup(1^λ):Generate a random supersingular elliptic curve E_0/\mathbb{F}_{p^2} with a sufficiently large, odd prime p , generate a suitable (\tilde{L}, κ) , $(\mathbb{G}_0, \hat{\mathbb{G}}_0, \mathbb{G}_T; e_0)$: a system of asymmetric pairing groups of order r fromsubgroups of E_0 , where e_0 is defined by $e_0(h_0, \hat{h}_0) := e_{\text{weil},0}(h_0, \hat{h}_0)^{\tilde{L}^\kappa}$ for any $h_0 \in \mathbb{G}_0, \hat{h}_0 \in \hat{\mathbb{G}}_0$, from the Weil pairing $e_{\text{weil},0}$ on E_0 $g_0 \xleftarrow{\text{U}} \mathbb{G}_0, \hat{g}_0 \xleftarrow{\text{U}} \hat{\mathbb{G}}_0,$ for $t \in [d]$, $(E_t, \xi_t) \xleftarrow{\text{R}} \text{Isog}_{\tilde{L}, \kappa}(E_0),$ $\phi_t := \phi_{\xi_t}, \mathbb{G}_t := \phi_t(\mathbb{G}_0), \hat{\mathbb{G}}_t := \phi_t(\hat{\mathbb{G}}_0), g_t := \phi_t(g_0), \hat{g}_t := \phi_t(\hat{g}_0),$ $e_t(h_t, \hat{h}_t) := e_{\text{weil},t}(h_t, \hat{h}_t)$ for any $h_t \in \mathbb{G}_t, \hat{h}_t \in \hat{\mathbb{G}}_t,$ where $e_{\text{weil},t}$ is the Weil pairing $e_{\text{weil},t}$ on E_t ,generate a random hash $H: \mathbb{F}_q \rightarrow \mathbb{G}_0$ with the identity space \mathbb{F}_q ,return $\text{pk} := ((\mathbb{G}_t, \hat{\mathbb{G}}_t, \hat{g}_t, e_t)_{t \in [0,d]}, \mathbb{G}_T, H), \text{sk} := (\phi_t)_{t \in [d]}.$

[0168] KeyGenアルゴリズムは、数155のようになる。

[数155]

KeyGen(pk, sk, tag, $\mathbb{S} := (M, \rho)$): $h_0 := H(\text{tag}) \in \mathbb{G}_0,$ choose random \vec{u} such that $\vec{1} \cdot \vec{u} = 1,$ for $i \in [L]$, $s_i := M_i \cdot \vec{u}$, $t := \rho(i)$, $k_i := s_i \cdot \phi_t(h_0),$ return $\text{sk}_{\text{tag}, \mathbb{S}} := (\text{tag}, \mathbb{S}, \{k_i\}_{i \in [L]}).$

[0169] Encアルゴリズムは、数156のようになる。

[数156]

Enc(pk, m, tag', Γ):

$$h_0 := H(\text{tag}') \in \mathbb{G}_0, \zeta \xleftarrow{\text{U}} \mathbb{F}_q,$$

$$\text{for } t \in \Gamma, c_t := \zeta \cdot \hat{g}_t, z := e_0(h_0, \hat{g}_0)^\zeta, c_T := z \cdot m,$$

$$\text{return } \text{ct}_{\text{tag}', \Gamma} := (\text{tag}', \Gamma, \{c_t\}_{t \in \Gamma}, c_T).$$

[0170] Dec アルゴリズムは、数 157 のようになる。

[数157]

Dec(pk, sk_{tag, S}, ct_{tag', Γ}):if (tag = tag') and S accepts Γ ,

then compute

$$\{\sigma_i\}_{\rho(i) \in \Gamma} \text{ such that } \vec{1} = \sum_{\rho(i) \in \Gamma} \sigma_i M_i$$

where M_i is the i -th row of M ,

$$z' = \prod_{t: \rho(i) \in \Gamma} e_t(k_i, c_t)^{\sigma_i}, m' := c_T \cdot (z')^{-1},$$

return m' .otherwise, return \perp .[0171] 数 158 に示すように、暗号文 ct_{ID'} を復号鍵 sk_{ID} で復号可能である。

[数158]

$$\begin{aligned}
z' &= \prod_{t:=\rho(i)\in\Gamma} e_t(k_i, c_t)^{\sigma_i} \\
&= \prod_{t:=\rho(i)\in\Gamma} e_{\text{weil},t}(k_i, c_t)^{\sigma_i} \\
&= \prod_{t:=\rho(i)\in\Gamma} e_{\text{weil},t}(s_i \cdot \phi_t(h_0), \zeta \cdot \hat{g}_t)^{\sigma_i} \\
&= \prod_{t:=\rho(i)\in\Gamma} e_{\text{weil},t}(\phi_t(h_0), \phi_t(\hat{g}_0))^{\zeta \sigma_i s_i} \\
&= \prod_{t:=\rho(i)\in\Gamma} e_{\text{weil},0}(h_0, \hat{g}_0)^{\tilde{L}^K \zeta \sigma_i s_i} \\
&= e_{\text{weil},0}(h_0, \hat{g}_0)^{\tilde{L}^K \zeta} \\
&= e_0(h_0, \hat{g}_0)^{\zeta} \\
&= z
\end{aligned}$$

[0172] ***実施の形態6の効果***

以上のように、実施の形態6に係る暗号システム1では、楕円曲線を用いて具体的にIBE方式及びABE方式を構成することができる。

[0173] 実施の形態7.

実施の形態1～6では、同種写像とペアリング演算とを用いて、IPGを構成した。し

かし、同種写像に代えて、トラップドア準同型写像（以下、TH）を用いてIPGを構成してもよい。

[0174] 以下の3つの条件を満たす場合、素数位数 q の2つのランダムに選択された巡回群 G_0, G_1 についての写像 $\phi := \phi_\xi : G_0 \rightarrow G_1$ がTHである。

（条件1：準同型写像）

写像 ϕ が自明でない準同型写像であること。自明でないとは、例えば、加法群に対して非ゼロであることである。

（条件2：TH-DH（TH-Diffie-Hellman）の難治性仮定）

ランダムに選択された写像 ϕ と群 G_0 から一様に選択された g_0, g について、 $(g_0, \phi(g_0), g)$ が与えられた場合に、どんな確率的多項式時間マシン B も無視し得る確率でしか $\phi(g)$ を計算しないこと。

(条件 3 : 多項式サイズのトラップドア)

$\phi := \phi_\xi$ についての多項式サイズのトラップドア ξ が与えられると、どんな $g \in G_0$ に対しても $\phi(g)$ を計算する確率的多項式時間マシン B が存在すること。

[0175] 楕円曲線を用いた TH の例として以下の 3 つがある。以下の 3 つの例において、群の肩に “ \sim ” が付されている場合、その群はペアリング群である。

(例 1 : 累乘法)

$G_0 := G_1 := G^\sim$ は、楕円曲線巡回群である。 $\phi := \phi_\xi$ は、群 G における累乘法、つまり曲線上のスカラー乗法である。つまり、 $\phi_\xi : g \rightarrow g^\xi$ である。ここで、 ξ はスカラーである。

(例 2 : ペアリング)

$G_0 := G^\sim, G_1 := G^\sim_T$ は、ペアリング群である。 $\phi := \phi_\xi$ は、 G^\sim 上のペアリング演算である。つまり、 $\phi_\xi : g \rightarrow e(g, \xi)$ である。ここで、 ξ は、対称ペアリングの場合の群 G 、又は、非対称ペアリングの場合の群 G^\wedge の要素である。

(例 3 : 同種写像)

$G_0 := G^\sim_0, G_1 := G^\sim_1$ は、それぞれ 2 つの曲線 E, E' から得られる 2 つの異なる楕円曲線巡回群である。 $\phi := \phi_\xi$ は、群 G^\sim_0 から群 G^\sim_1 への同種写像である。つまり、 $\phi_\xi : E \rightarrow E' := E/C$ である。ここで、 $\xi := C$ は、曲線 E の巡回部分群である。

符号の説明

[0176] 1 暗号システム、10 鍵生成装置、11 プロセッサ、12 記憶装置、13 入出力インタフェース、14 マスター鍵生成部、15 復号鍵生成部、16 鍵出力部、20 暗号化装置、21 プロセッサ、22 記憶装置、23 入出力インタフェース、24 入力受付部、25 暗号文生

成部、26 暗号文出力部、30 復号装置、31 プロセッサ、32 記憶装置、33 入出インタフェース、34 入力受付部、35 復号部、36 メッセージ出力部。

請求の範囲

[請求項1] 同種写像とペアリング演算とによって対応付けられた複数の群を用いた暗号システムにおける暗号化装置であり、

前記複数の群のうちのある群の暗号要素を含む暗号文を生成する暗号文生成部を備える暗号化装置。

[請求項2] 前記暗号システムは、群 G_0 と、前記群 G_0 と同種写像 ϕ_t によって対応付けられた群 G_t と、前記群 G_0 及び群 \hat{G}_0 とペアリング演算 e_0 によって対応付けられるとともに、前記群 G_t 及び群 \hat{G}_t とペアリング演算 e_t によって対応付けられた群 G_T とを用いる請求項1に記載の暗号化装置。

[請求項3] 前記暗号文は、前記群 G_0 の要素と前記群 \hat{G}_0 の要素とについて前記ペアリング演算 e_0 を行うことにより生成された前記群 G_T の要素 z を含む暗号要素 c_T と、前記群 \hat{G}_t の要素である暗号要素 c とを含む請求項2に記載の暗号化装置。

[請求項4] 前記暗号システムは、 $t = 1$ の整数 t についての前記群 G_t 及び前記群 \hat{G}_t を用い、

前記暗号文は、前記暗号要素 c 及び前記暗号要素 c_T として、数1に示す要素 c 、 c_T を含む請求項3に記載の暗号化装置。

[数1]

$$c := \hat{g}_1^\zeta,$$

$$c_T := z \cdot m$$

ここで、

$$\hat{g}_1 \in \hat{G}_1,$$

ζ は値、

$$z := e_0(h_0, \hat{g}_0)^\zeta,$$

m はメッセージ、

$$h_0 \in G_0,$$

$$\hat{g}_0 \in \hat{G}_0$$

[請求項5] 前記暗号システムは、2以上の整数 d に関して $t = 0, \dots, d$ の整数 t についての群 G_t 及び群 \hat{G}_t を用い、

前記暗号文は、前記暗号要素 c 及び前記暗号要素 c_T として、数2に示す要素 c_t, c_T を含む請求項3に記載の暗号化装置。

[数2]

$$c_t := \hat{g}_t^\zeta \text{ for } t \in \Gamma,$$

$$c_T := z \cdot m$$

ここで、

$$\hat{g}_t \in \hat{G}_t,$$

ζ は値、

$$z := e_0(h_0, \hat{g}_0)^\zeta,$$

m はメッセージ、

$$h_0 \in G_0,$$

$$\hat{g}_0 \in \hat{G}_0$$

[請求項6] 前記暗号システムは、1以上の整数 d 及び1以上の整数 n に関して $t = 0, \dots, d$ の整数 t と $j = 0, \dots, n$ の整数 n と $\iota = 0, 1$ の整数 ι についての群 $G_{t, j, \iota}$ 及び群 $\hat{G}_{t, j, \iota}$ を用い、

前記暗号文は、前記暗号要素 c 及び前記暗号要素 c_T として、数3に示す要素 $c_{t, j}, c_T$ を含む請求項3に記載の暗号化装置。

[数3]

$$c_{t,j} := \hat{g}_{t,j,x_{t,j}}^{\zeta} \quad \text{for } (t, x_t := (x_{t,j}) \in \{0,1\}^n) \in \Gamma,$$

$$c_T := z \cdot m$$

ここで、

$$\hat{g}_{t,j,t} \in \hat{G}_{t,j,t},$$

 ζ は値、

$$z := e_0(h_0, \hat{g}_0)^{\zeta},$$

 m はメッセージ、

$$h_0 \in \mathbb{G}_0,$$

$$\hat{g}_0 \in \hat{G}_0$$

[請求項7]

前記暗号システムは、 $t = 1$ の整数 t についての前記群 G_t 及び前記群 \hat{G}_t を用い、

前記暗号文は、前記暗号要素 c 及び前記暗号要素 c_T として、数9に示す要素 \hat{c}_0, c_i, c_T を含む請求項3に記載の暗号化装置。

[数4]

$$\hat{c}_0 := \hat{g}_1^{\zeta},$$

$$c_i := h_i^{\zeta}, h_i := H_1(\text{ID}_1, \dots, \text{ID}_i) \quad \text{for } i \in [2, j],$$

$$c_T := z \cdot m$$

ここで、

$$\hat{g}_1 \in \hat{G}_1,$$

 ζ は値、

$$\text{ID}_1, \dots, \text{ID}_j \text{は値、}$$

$$z := e_0(h_1, \hat{g}_0)^{\zeta},$$

 m はメッセージ、

$$h_1 := H_0(\text{ID}_1),$$

H_0, H_1 は $\text{ID}_1, \dots, \text{ID}_j$ の空間の要素を \mathbb{G}_0 の要素に変換する関数、

$$\hat{g}_0 \in \hat{G}_0$$

- [請求項8] 同種写像とペアリング演算とによって対応付けられた複数の群を用いた暗号システムにおける復号装置であり、
前記複数の群のうちのある群の暗号要素を含む暗号文を、前記複数の群のうちの前記ある群とは異なる群の鍵要素を含む復号鍵を用いて復号する復号部
を備える復号装置。
- [請求項9] 前記暗号システムは、群 G_0 と、前記群 G_0 と同種写像 ϕ_t によって対応付けられた群 G_t と、前記群 G_0 及び群 G^{\wedge}_0 とペアリング演算 e_0 によって対応付けられるとともに、前記群 G_t 及び群 G^{\wedge}_t とペアリング演算 e_t によって対応付けられた群 G_T とを用いる
請求項8に記載の復号装置。
- [請求項10] 前記暗号文は、前記群 G_0 の要素と前記群 G^{\wedge}_0 の要素とについて前記ペアリング演算 e_0 を行うことにより生成された前記群 G_T の要素 z を含む暗号要素 c_T と、前記群 G^{\wedge}_t の要素である暗号要素 c とを含み、
前記復号鍵は、前記群 G_t の鍵要素 k を含み、
前記復号部は、前記鍵要素 k と前記暗号要素 c とについて前記ペアリング演算 e_t を行い要素 z' を計算し、計算された前記要素 z' と前記暗号要素 c_T とを用いて前記暗号文を復号する
請求項9に記載の復号装置。
- [請求項11] 前記暗号システムは、 $t = 1$ の整数 t についての前記群 G_t 及び前記群 G^{\wedge}_t を用い、
前記暗号文は、前記暗号要素 c 及び前記暗号要素 c_T として、数5に示す要素 c, c_T
を含み、
前記復号鍵は、前記鍵要素 k として、数6に示す要素 h_1 を含み、
前記復号部は、前記要素 h_1 と前記要素 c とについて、ペアリング演算 e_1 を行い、前記暗号文を復号する

請求項 10 に記載の復号装置。

[数5]

$$c := \hat{g}_1^\zeta,$$

$$c_T := z \cdot m$$

ここで、

$$\hat{g}_1 \in \hat{G}_1,$$

ζ は値、

$$z := e_0(h_0, \hat{g}_0)^\zeta,$$

m はメッセージ、

$$h_0 \in G_0,$$

$$\hat{g}_0 \in \hat{G}_0$$

[数6]

$$h_1 := \phi_1(h_0)$$

[請求項12] 前記暗号システムは、2以上の整数 d に関して $t = 0, \dots, d$ の整数 t についての群 G_t 及び群 \hat{G}_t を用い、

前記暗号文は、前記暗号要素 c 及び前記暗号要素 c_T として、数7に示す要素 c_t, c_T を含み、

前記復号鍵は、前記鍵要素 k として、数8に示す要素 k_i を含み、

前記復号部は、前記要素 c_t と前記要素 k_i について、数9に示すペアリング演算を行い、前記暗号文を復号する

請求項 10 に記載の復号装置。

[数7]

$$c_t := \hat{g}_t^\zeta \text{ for } t \in \Gamma,$$

$$c_T := z \cdot m$$

ここで、

$$\hat{g}_t \in \hat{\mathbb{G}}_t,$$

ζ は値、

$$z := e_0(h_0, \hat{g}_0)^\zeta,$$

m はメッセージ、

$$h_0 \in \mathbb{G}_0,$$

$$\hat{g}_0 \in \hat{\mathbb{G}}_0$$

[数8]

$$k_i := \phi_t(h_0)^{s_i}$$

ここで、

$$\text{スパンプログラム } S := (M, \rho),$$

$$s_i := M_i \cdot \vec{u},$$

M_i は M の i 行目、

$$\vec{u} \cdot \vec{1} = 1,$$

$$t = \rho(i)$$

[数9]

$$z' := \prod_{t=\rho(i) \in \Gamma} e_t(k_i, c_t)^{\sigma_i}$$

ここで、

$$\vec{1} = \sum_{\rho(i) \in \Gamma} \sigma_i M_i$$

[請求項13]

前記暗号システムは、1以上の整数 d 及び1以上の整数 n に関して

$$t = 0, \dots, d$$

の整数 t と $j = 0, \dots, n$ の整数 n と $\iota = 0, 1$ の整数 ι につ

いての群 $G_{t,j,\ell}$ 及び群 $\hat{G}_{t,j,\ell}$ を用い、

前記暗号文は、前記暗号要素 c 及び前記暗号要素 c_T として、数 10 に示す要素 $c_{t,j}$ 、 c_T を含み、

前記復号鍵は、前記鍵要素 k として、数 11 に示す要素 $k_{i,j}$ を含み、

前記復号部は、前記要素 $c_{t,j}$ と前記要素 $k_{i,j}$ について、数 12 に示すペアリング演算を行い、前記暗号文を復号する
請求項 10 に記載の復号装置。

[数10]

$$c_{t,j} := \hat{g}_{t,j,x_{t,j}}^{\zeta} \quad \text{for } (t, x_t := (x_{t,j}) \in \{0,1\}^n) \in \Gamma,$$

$$c_T := z \cdot m$$

ここで、

$$\hat{g}_{t,j,i} \in \hat{G}_{t,j,i},$$

ζ は値、

$$z := e_0(h_0, \hat{g}_0)^{\zeta},$$

m はメッセージ、

$$h_0 \in G_0,$$

$$\hat{g}_0 \in \hat{G}_0$$

[数11]

$$k_{i,j} := \phi_{t,j,v_{i,j}}(h_0)^{\tau_{i,j}} \text{ for } i \in [L]$$

ここで、

$$\text{スパンププログラム } S := (M, \rho),$$

 L は M の行数、

$$s_i := M_i \cdot \bar{u},$$

 M_i は M の i 行目、

$$\bar{u} \cdot \bar{1} = 1,$$

$$\bar{\tau}_i := (\tau_{i,j}) \text{ such that } s_i = \sum_{j=1}^n \tau_{i,j},$$

$$\rho(i) = (t, v_i := (v_{i,j}) \in \{0,1\}^n)$$

[数12]

$$z' := \prod_{\rho(i)=(t,(v_{i,j})) \in \Gamma} \left(\prod_{j=1}^n e_{t,j,v_{i,j}}(k_{i,j}, c_{t,j}) \right)^{\sigma_i}$$

ここで、

$$\bar{1} = \sum_{\rho(i) \in \Gamma} \sigma_i M_i$$

[請求項14] 前記暗号システムは、 $t = 1$ の整数 t についての前記群 G_t 及び前記群 G^{\wedge}_t を用い、

前記暗号文は、前記暗号要素 c 及び前記暗号要素 c_T として、数 1 3 に示す要素 c^{\wedge}_0, c_i, c_T を含み、

前記復号鍵は、前記鍵要素 k として数 1 4 に示す要素 d^{\wedge}_i, d_j を含み、

前記復号部は、前記要素 c^{\wedge}_0, c_i と前記要素 d^{\wedge}_i, d_j について、数 1 5 に示すペアリング演算を行い、前記暗号文を復号する請求項 1 0 に記載の復号装置。

[数13]

$$\hat{c}_0 := \hat{g}_1^\zeta,$$

$$c_i := h_i^\zeta, h_i := H_1(\text{ID}_1, \dots, \text{ID}_i) \text{ for } i \in [2, j],$$

$$c_T := z \cdot m$$

ここで、

$$\hat{g}_1 \in \hat{\mathbb{G}}_1,$$

 ζ は値、 $\text{ID}_1, \dots, \text{ID}_j$ は値、

$$z := e_0(h_1, \hat{g}_0)^\zeta,$$

 m はメッセージ、

$$h_1 := H_0(\text{ID}_1),$$

 H_0, H_1 は $\text{ID}_1, \dots, \text{ID}_j$ の空間の要素を \mathbb{G}_0 の要素に変換する関数、

$$\hat{g}_0 \in \hat{\mathbb{G}}_0$$

[数14]

$$\hat{d}_i := \hat{g}_1^{r_i} \in \hat{\mathbb{G}}_1 \text{ for } i \in [j-1],$$

$$d_j := \phi_1(h_1) \cdot \prod_{i=2}^j h_i^{r_{i-1}}$$

ここで、

 r_i は値、

$$h_1 := H_0(\text{ID}_1),$$

$$h_i := H_1(\text{ID}_1, \dots, \text{ID}_i) \text{ for } i \in [2, j],$$

[数15]

$$z' := \frac{e_1(d_i, \hat{c}_0)}{\prod_{i=2}^j e_1(c_i, \hat{d}_{i-1})}$$

[請求項15] 同種写像とペアリング演算とによって対応付けられた複数の群を用いた暗号システムであり、

前記複数の群のうちのある群の暗号要素を含む暗号文を生成する暗号化装置と、

前記複数の群のうちの前記ある群とは異なる群の鍵要素を含む復号鍵を用いて、前記暗号化装置によって生成された暗号文を復号する復号装置と

を備える暗号システム。

[請求項16]

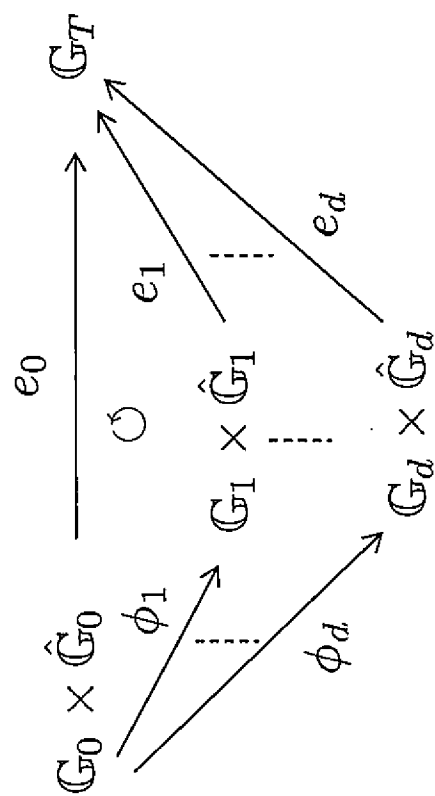
群 G_0 と、前記群 G_0 と準同型写像 ϕ_t によって対応付けられた群 G_t と、前記群 G_0 及び群 G^{\wedge}_0 とペアリング演算 e_0 によって対応付けられるとともに、前記群 G_t 及び群 G^{\wedge}_t とペアリング演算 e_t によって対応付けられた群 G_T とを用いた暗号システムであり、

前記群 G_0 の要素と、前記群 G^{\wedge}_0 の要素とについて前記ペアリング演算 e_0 を行うことにより生成された前記群 G_T の要素 z を含む前記暗号要素 c_T と、前記群 G^{\wedge}_t の要素である暗号要素 c とを含む暗号文を生成する暗号化装置と、

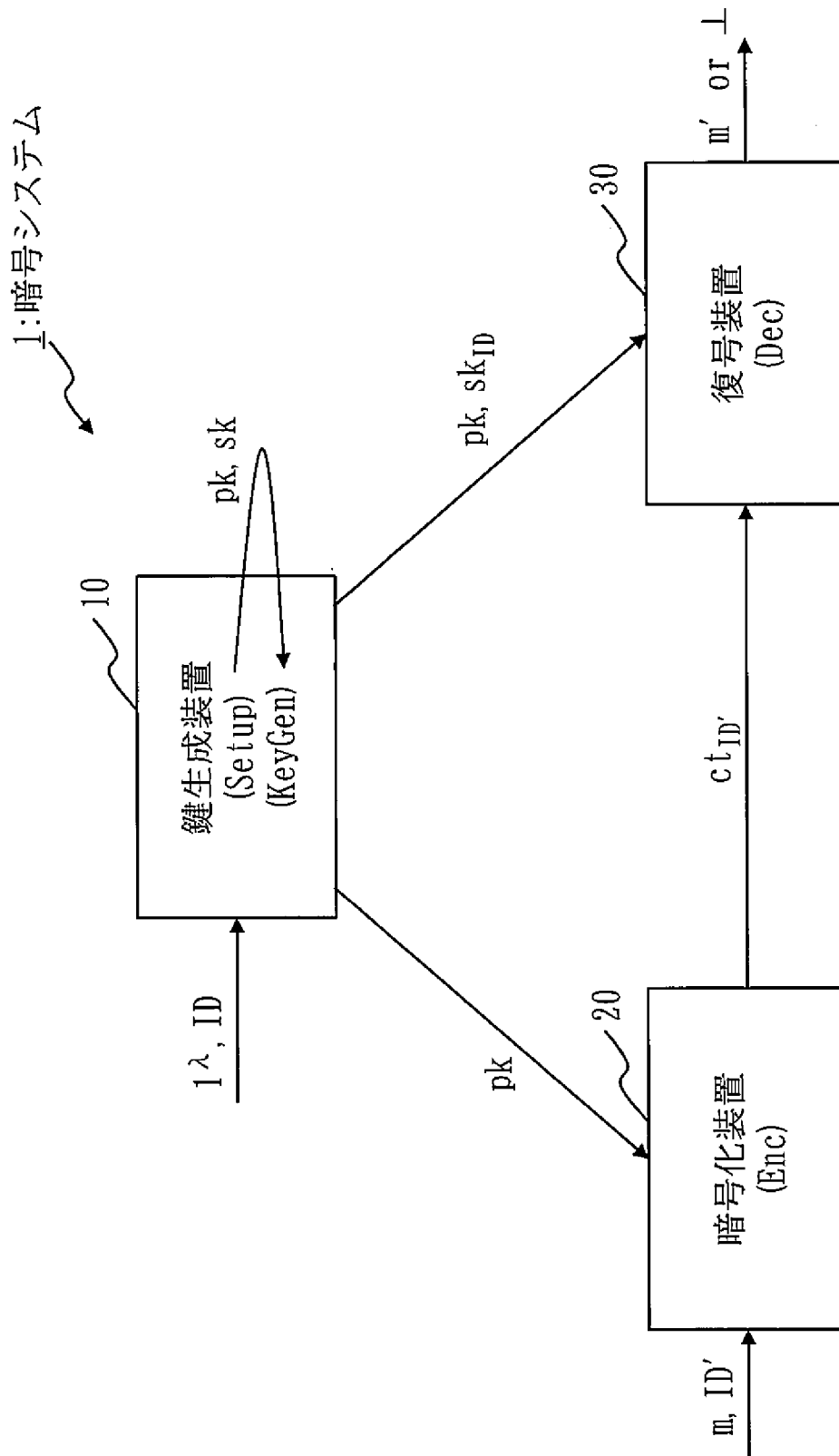
前記群 G_t の鍵要素 k を含む復号鍵を用いて、前記鍵要素 k と前記暗号要素 c とについて前記ペアリング演算 e_t を行い要素 z' を計算し、計算された前記要素 z' と前記暗号要素 c_T とを用いて前記暗号文を復号する復号装置と

を備える暗号システム。

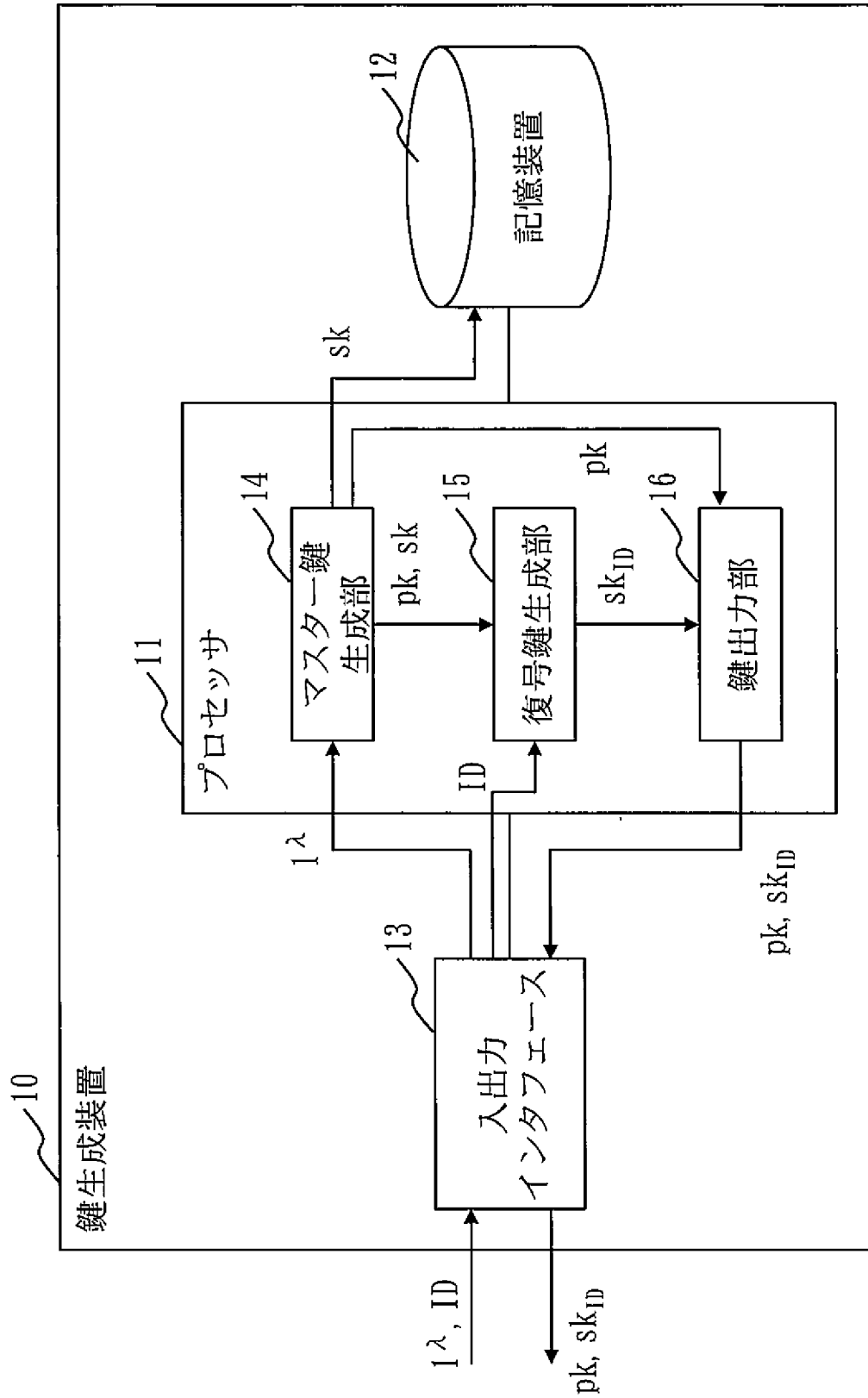
[図1]



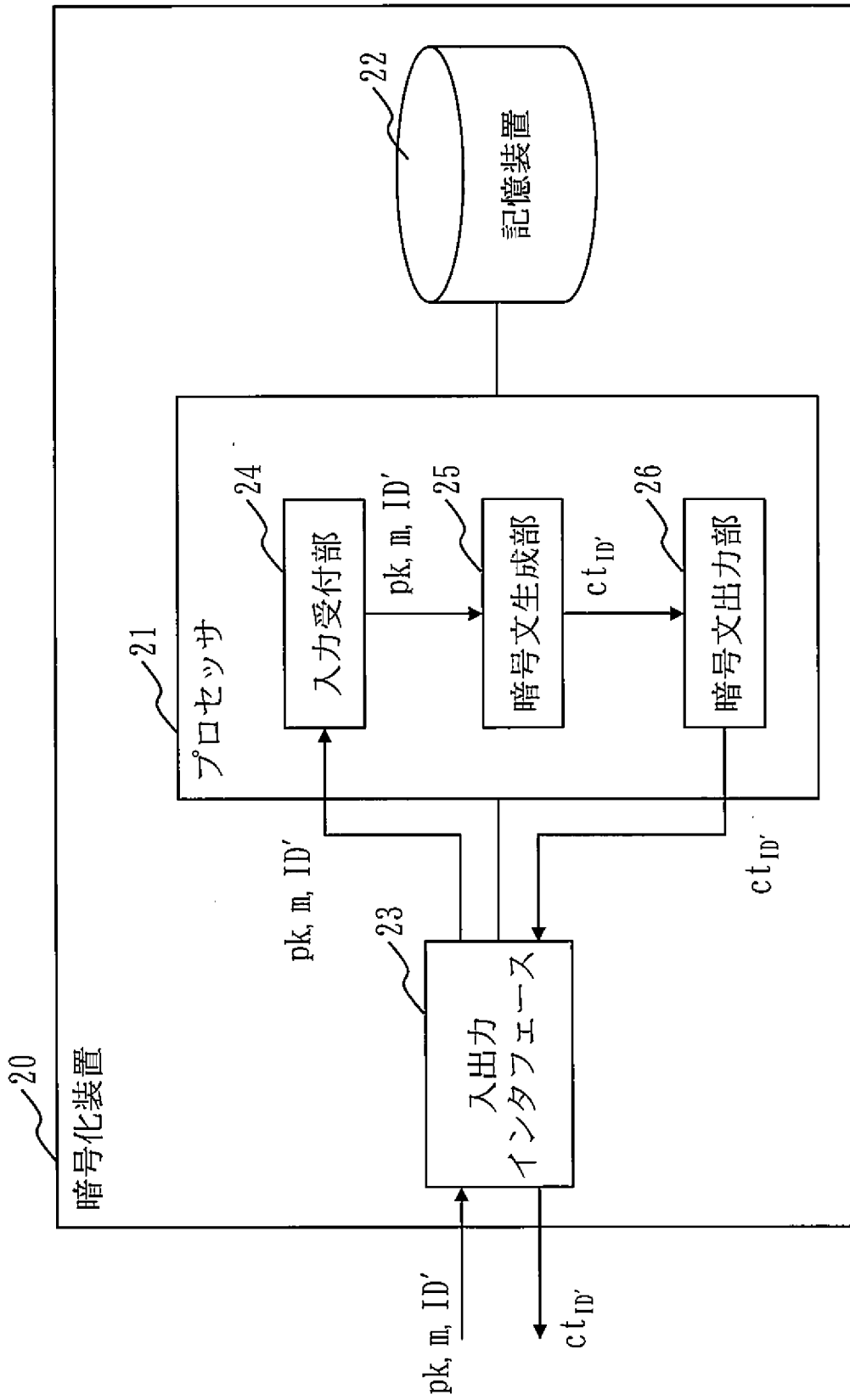
[図2]



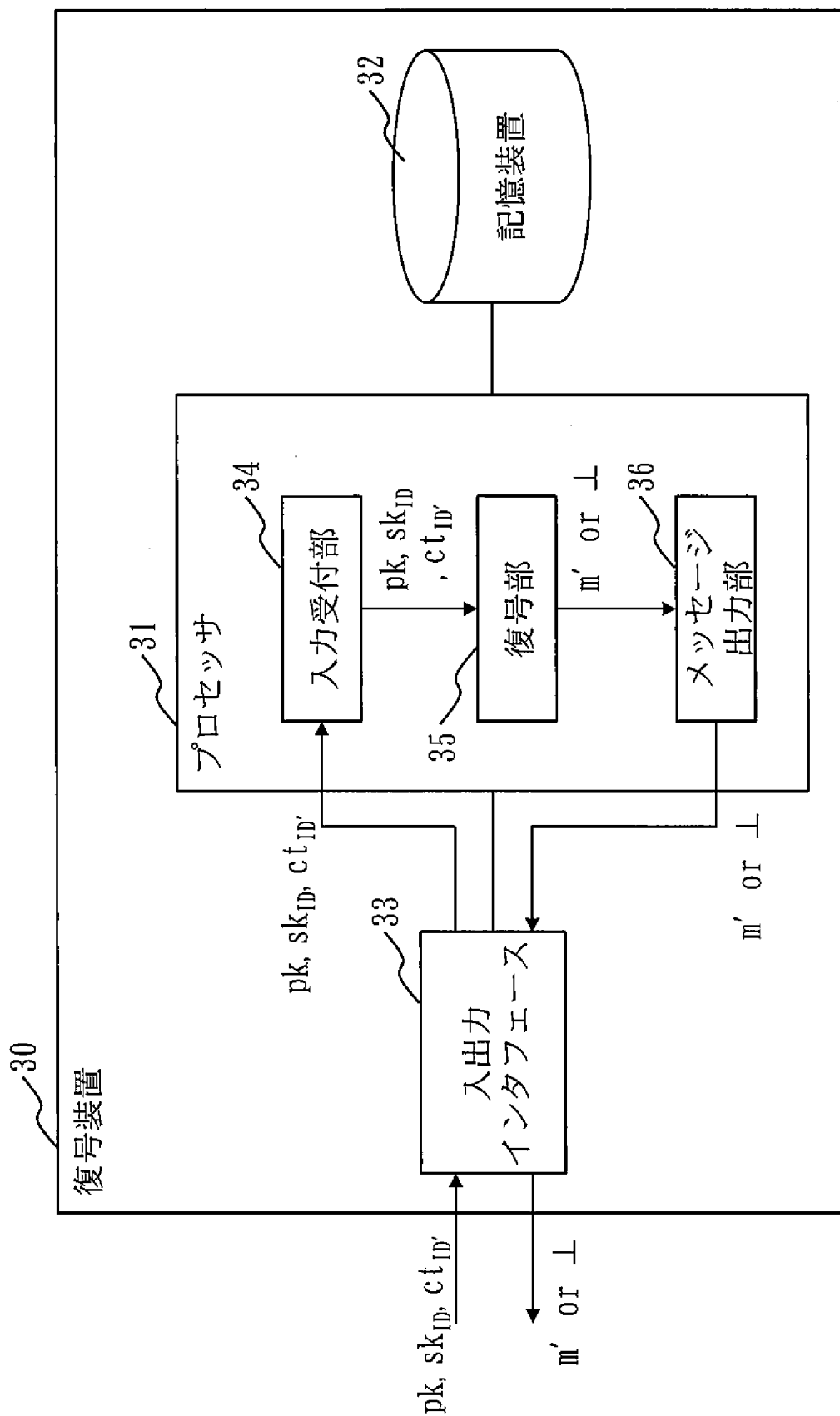
[図3]



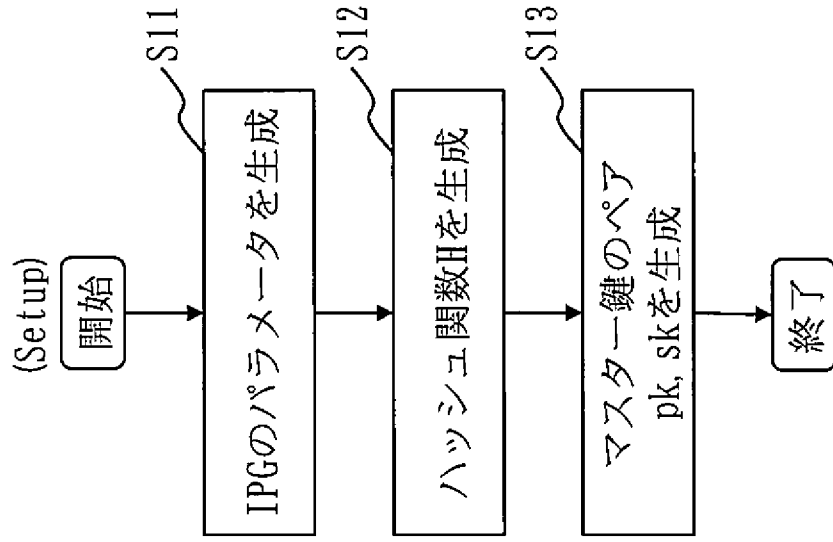
[図4]



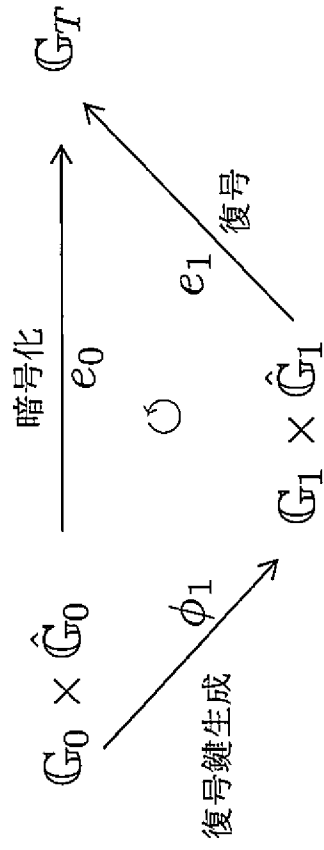
[図5]



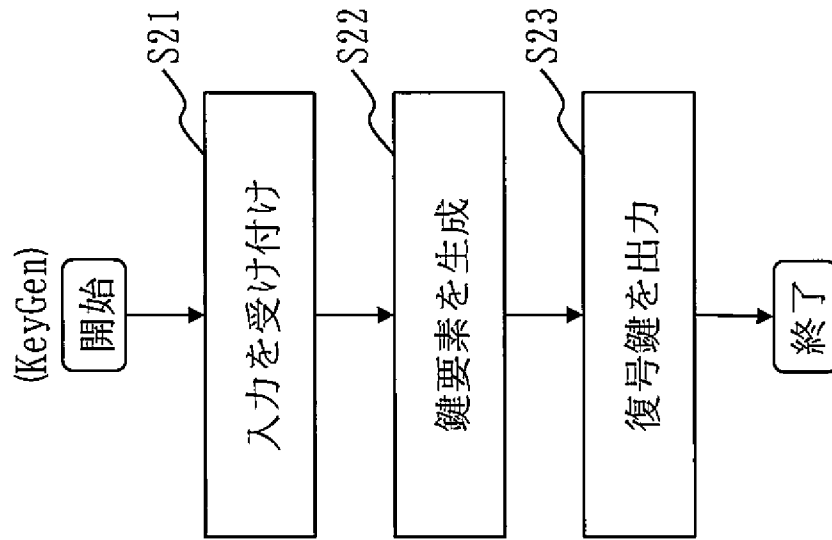
[図6]



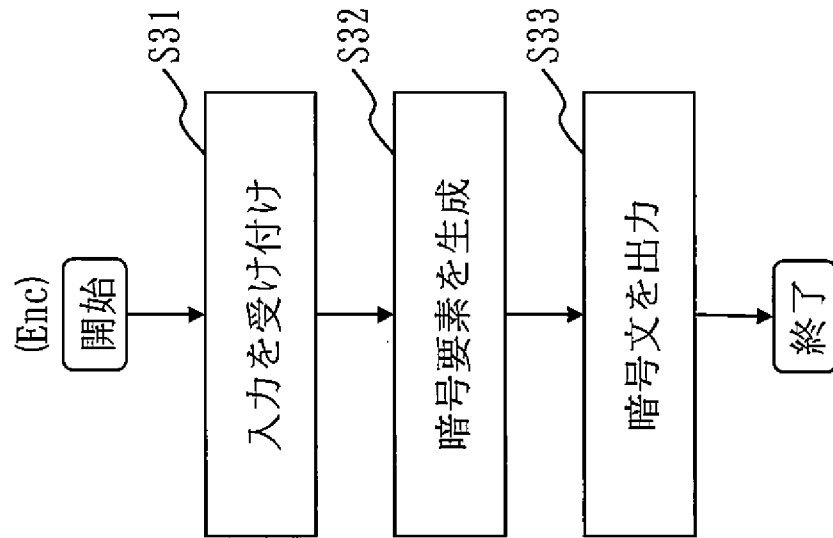
[図7]



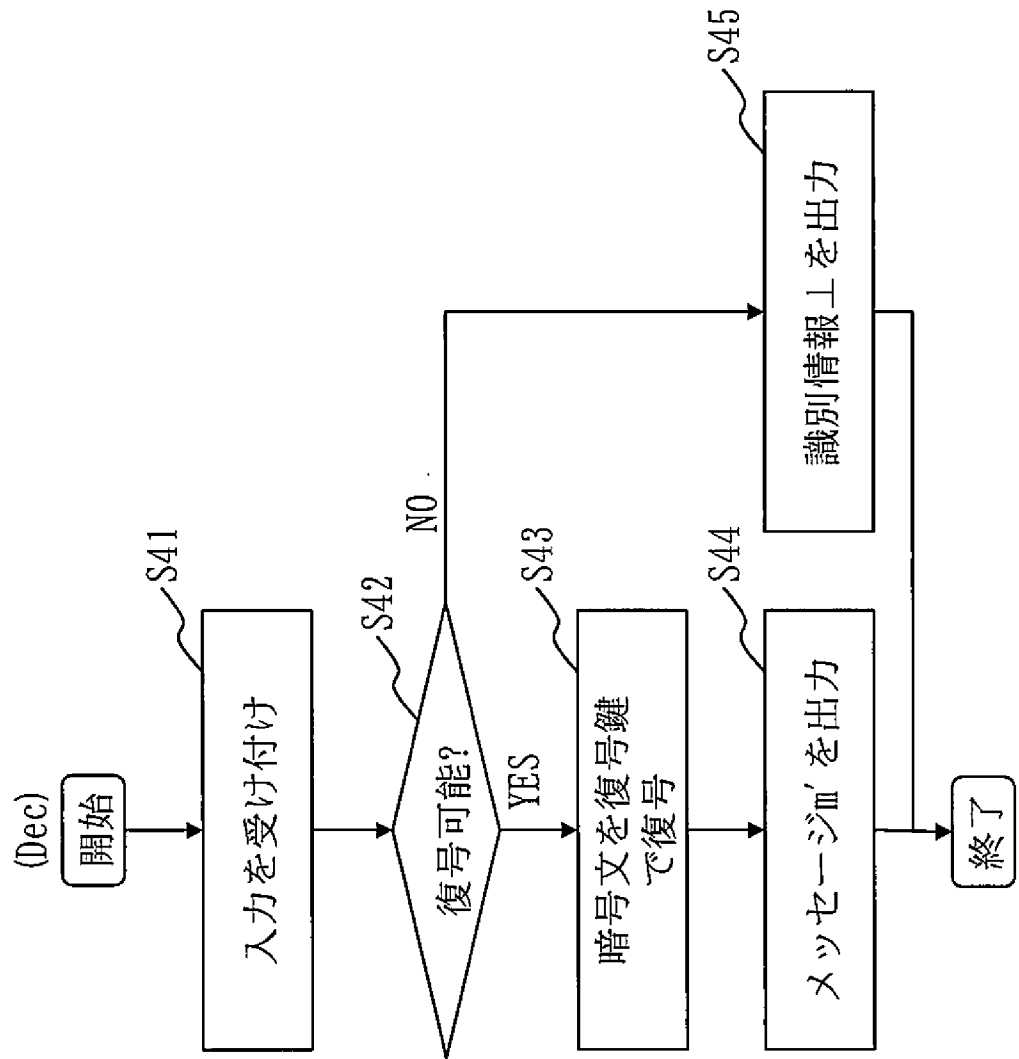
[図8]



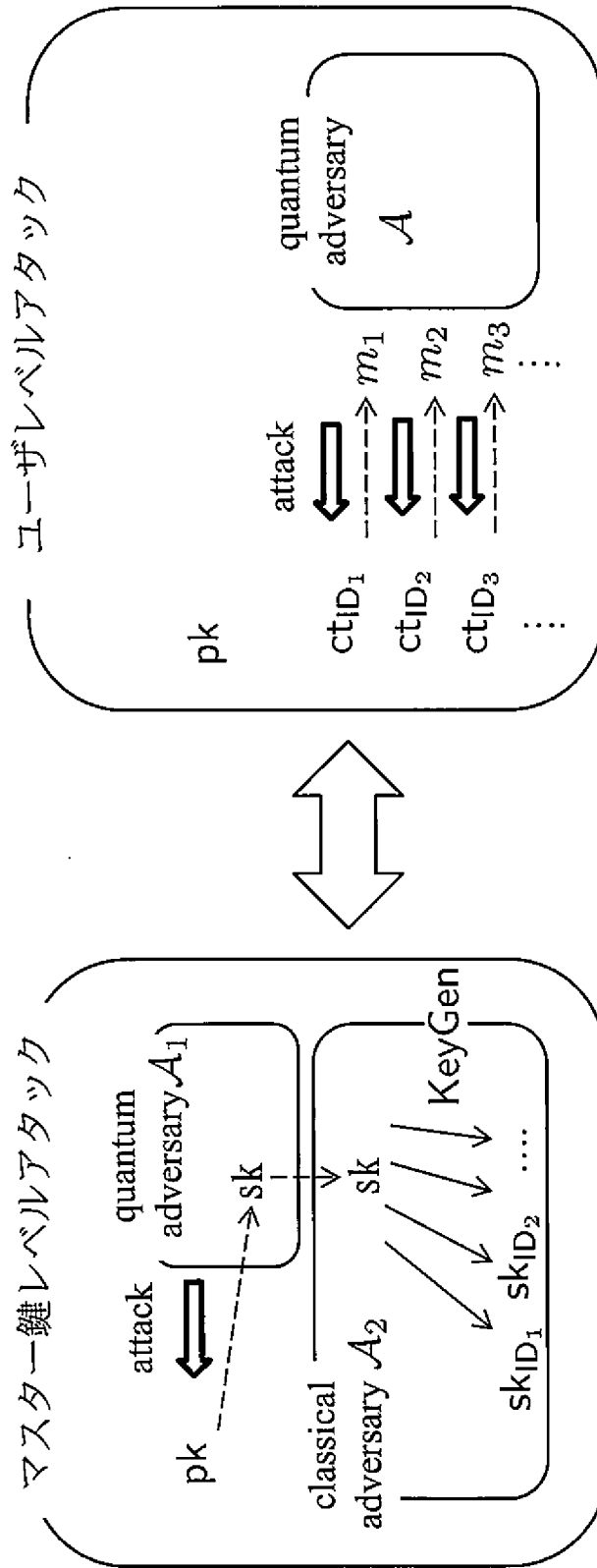
[図9]



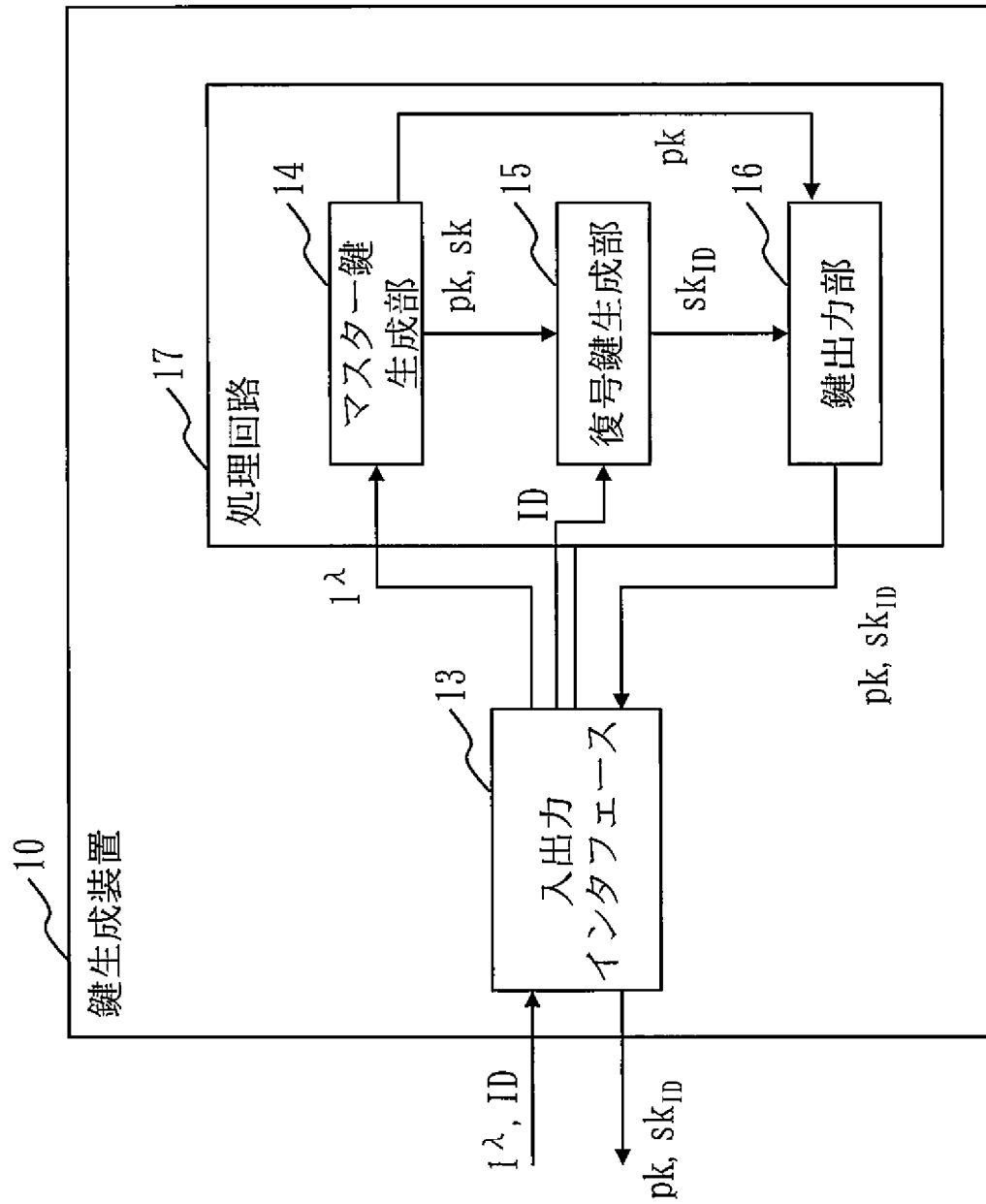
[図10]



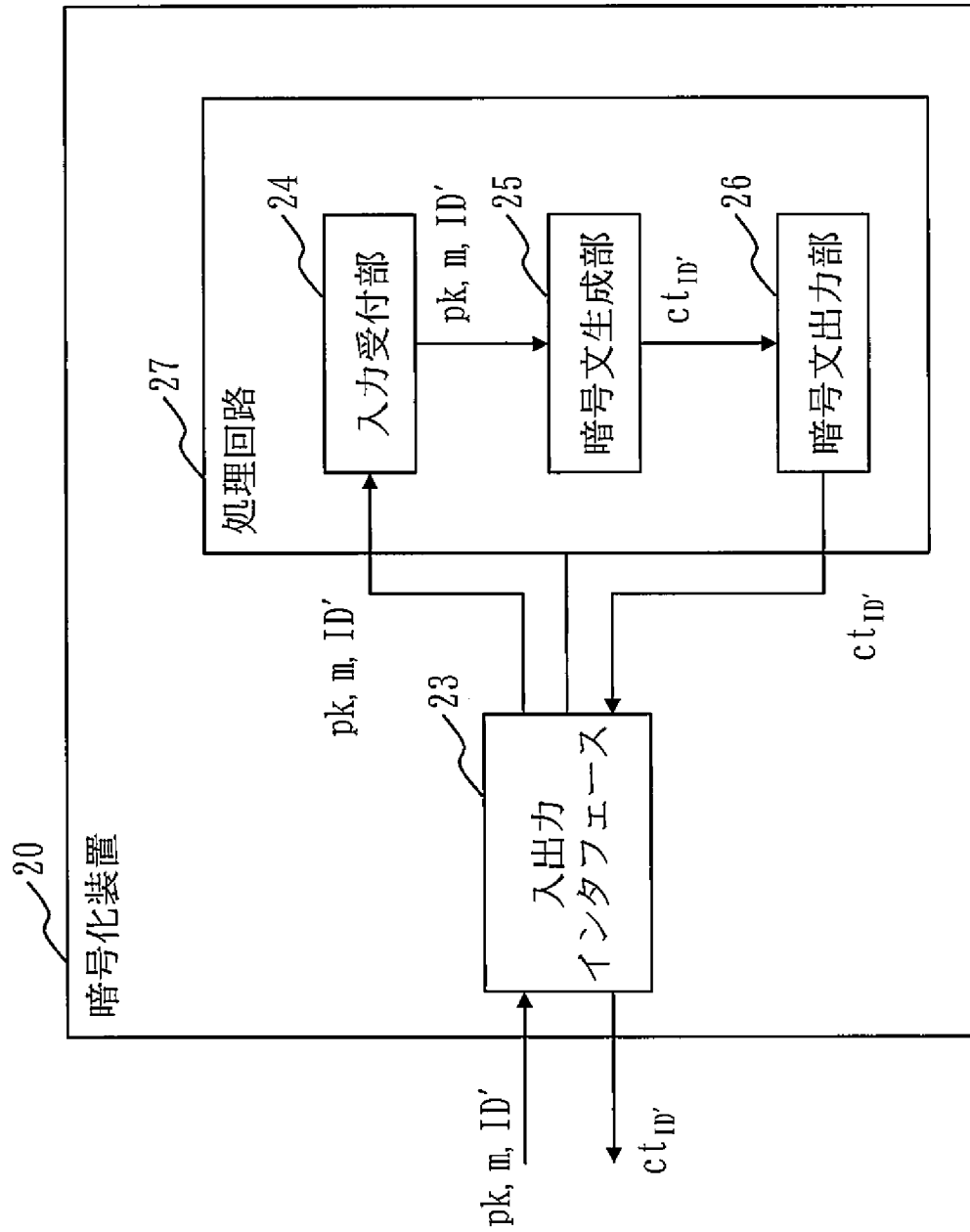
[図11]



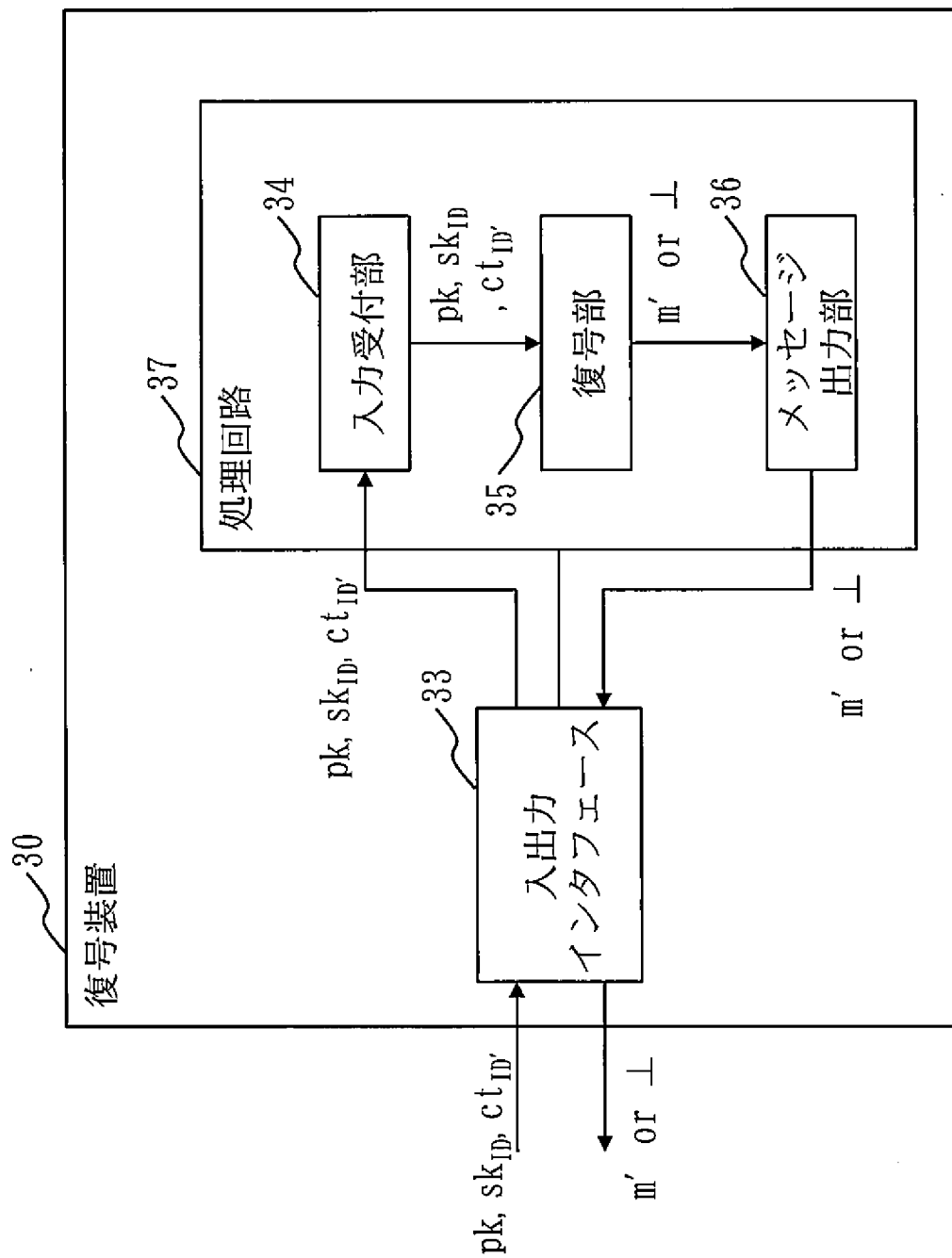
[図12]



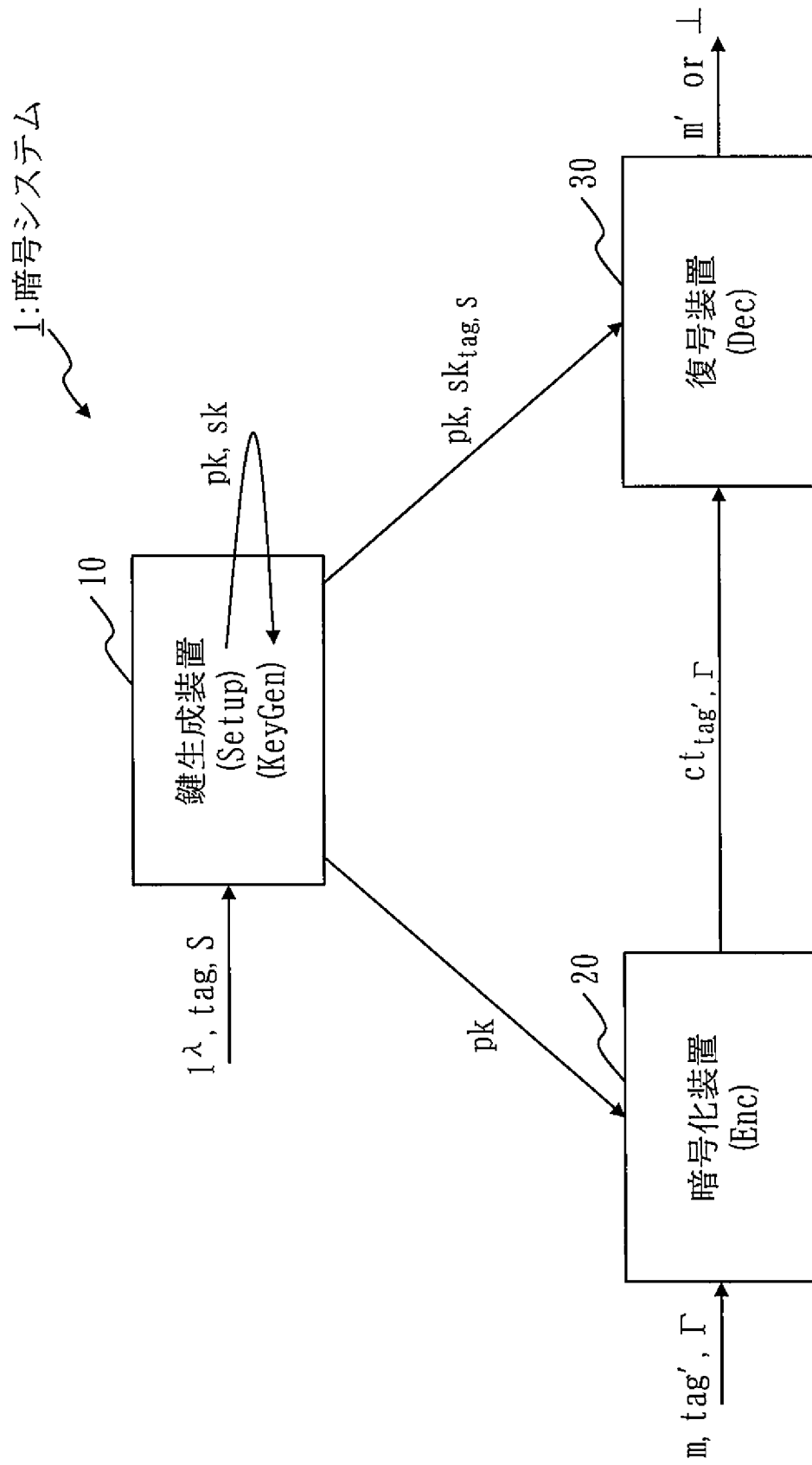
[図13]



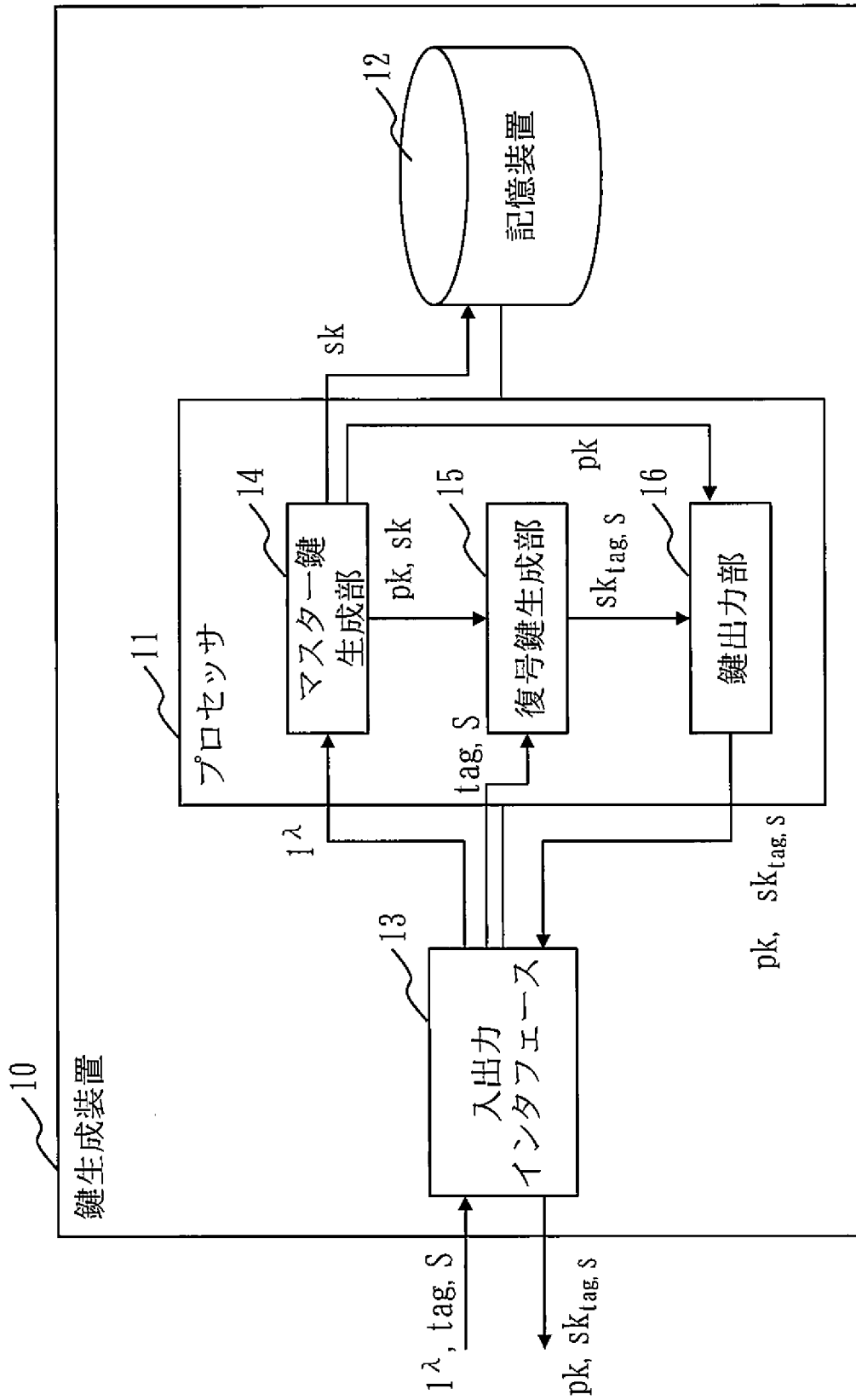
[図14]



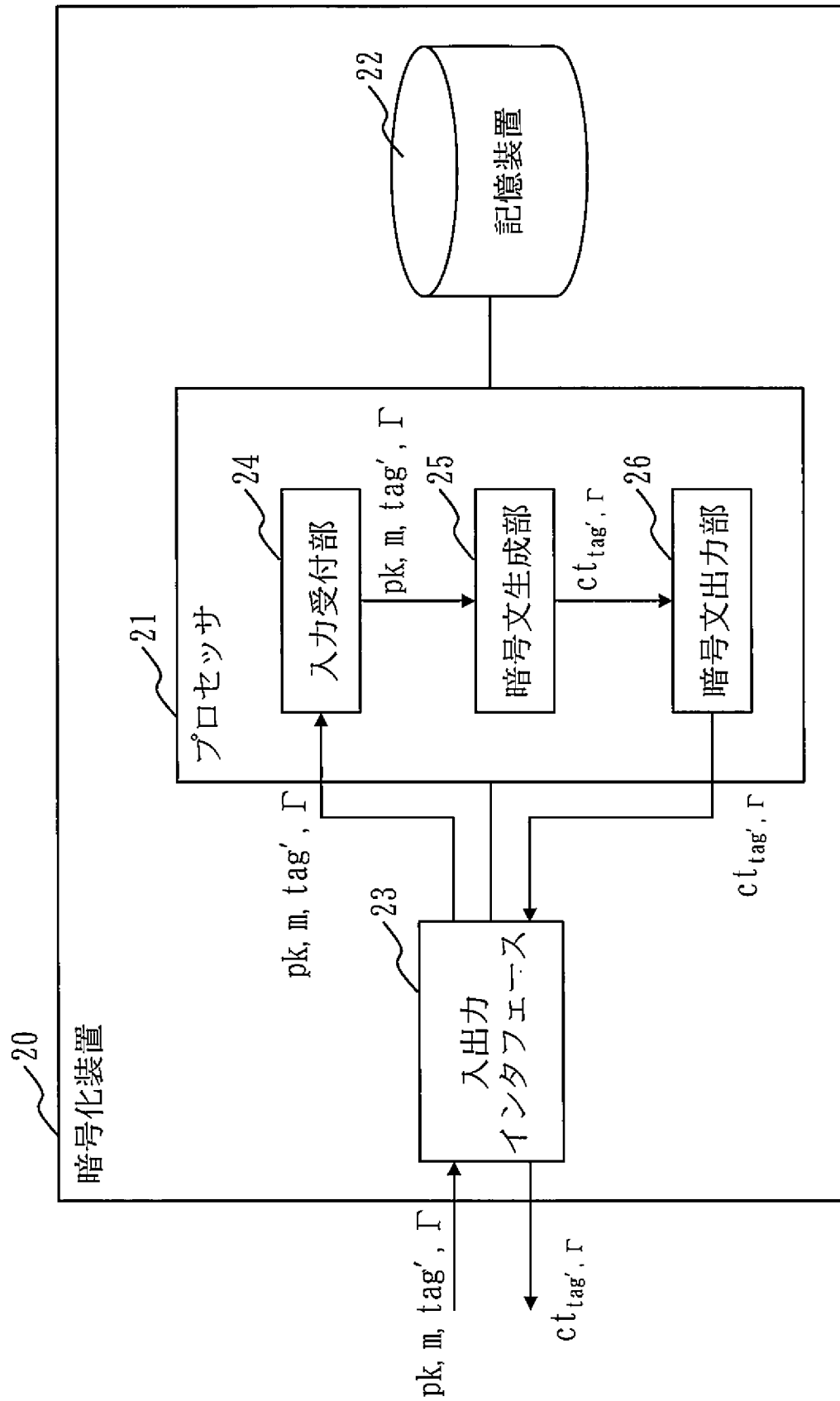
[図15]



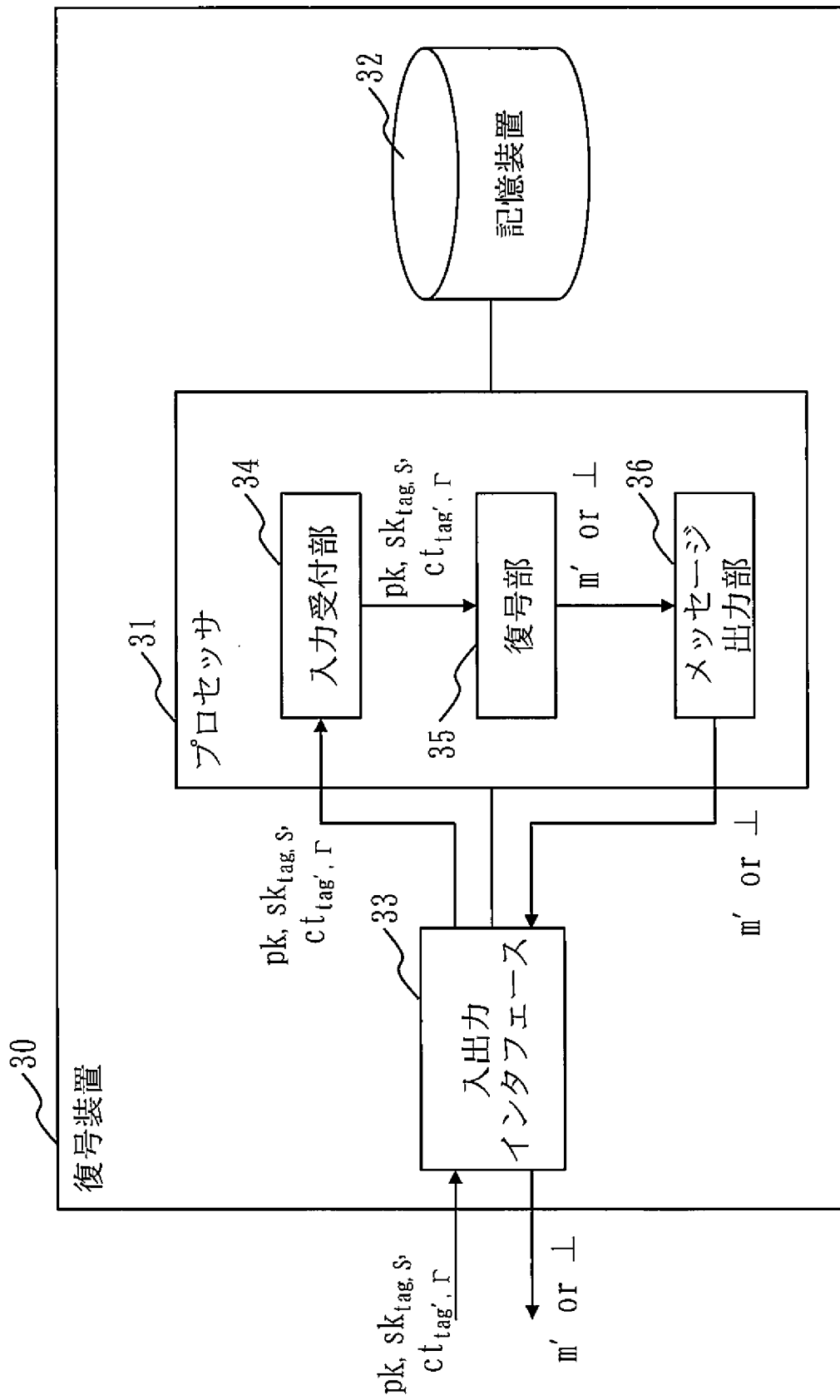
[図16]



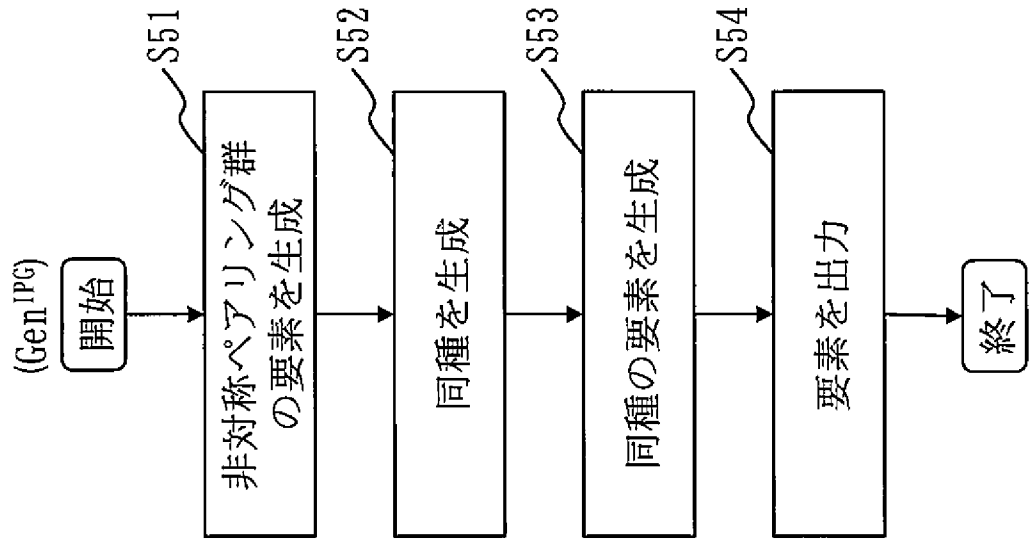
[図17]



[図18]



[図19]



[20]

Algorithm 1 Isog[^]djp_L[~], κ :

Generate a random supersingular EC which is $L^{\sim \kappa}$ -isogenous to E_0

Input : An initial elliptic curve E_0 .

Output : An isogenous E and a kernel generator R in $E_0 [L^{\sim \kappa}]$, that is,
 a trapdoor ξ for computing the isogeny $\varphi := \varphi_{\xi} : E_0 \rightarrow E$.

- 1: generate a random point R in $E_0 [L^{\sim \kappa}]$, then set $R_0 := R$
 - 2: for $0 \leq i < \kappa$ do
 - 3: compute $E_{i+1} := E_i / \langle L^{\sim \kappa \cdot i-1} R_i \rangle$, $\psi_i : E_i \rightarrow E_{i+1}$, and $R_{i+1} := \psi_i(R_i)$ by Velu's formula, where $R_i \in E_i [L^{\sim \kappa \cdot i}]$, $L^{\sim \kappa \cdot i-1} R_i$ is in $E_i [L^{\sim \kappa}]$ and then ψ_i is an L^{\sim} -isogeny.
 - 4: end for
 - 5: we set the composition $\varphi := \psi_{\kappa-1} \dots \psi_0 : E_0 \rightarrow E_{\kappa} = E_0 / \langle R \rangle$.
- return $E := E_{\kappa}$ (or $j(E_{\kappa})$) and $\xi := R$

[21]

Algorithm 2 $\text{Isog}^{\wedge} \text{clg_L, k}$:

Generate a random supersingular EC which is L^k -isogenous to E_0 when $= 2$

Input : An initial elliptic curve E_0 .

Output : An isogenous E and all the selector bits $\omega := \{\omega_i\}_{0 \leq i < k}$, that is, a trapdoor ξ for computing the isogeny $\varphi := \varphi_{\xi} : E_0 \rightarrow E$.

- 1: for $0 \leq i < k$ do
 - 2: generate a random bit $\omega_i \in \{0, 1\}$ for selecting a next kernel point R_i , which is either of two points in $K_i := E_i[L] \mid \psi_{i-1}(E_{i-1}[L])$ if $i \neq 0$ (resp., in $K_i := \{ \text{some fixed two points in } E_i[L] \mid \{O_{E_i}\} \}$ if $i = 0$) since $= 2$.
 - 3: compute $E_i / \langle R_i \rangle$ and the j -invariants $j(E_i / \langle R_i \rangle)$ by Velu's formula for two candidates $R_i \in K_i$.
 - 4: $j(E_i / \langle R_i \rangle)$ i.e., R_i , is determined from ω_i by a lexicographic order in F_{p^2} .
 - 5: we set $\psi_i : E_i \rightarrow E_{i+1} := E_i / \langle R_i \rangle$ for the selected R_i .
 - 6: end for
 - 7: we set the composition $\varphi := \psi_{k-1} \dots \psi_0 : E_0 \rightarrow E_k$.
- return $E := E_k$ (or $j(E_k)$) and all the selector bits $\xi := \omega := \{\omega_i\}_{0 \leq i < k}$.

INTERNATIONAL SEARCH REPORT

International application No.
PCT/JP2017/001558

A. CLASSIFICATION OF SUBJECT MATTER
H04L9/08(2006.01)i, G09C1/00(2006.01)i

According to International Patent Classification (IPC) or to both national classification and IPC

B. FIELDS SEARCHED

Minimum documentation searched (classification system followed by classification symbols)
H04L9/08, G09C1/00

Documentation searched other than minimum documentation to the extent that such documents are included in the fields searched

Jitsuyo Shinan Koho	1922-1996	Jitsuyo Shinan Toroku Koho	1996-2017
Kokai Jitsuyo Shinan Koho	1971-2017	Toroku Jitsuyo Shinan Koho	1994-2017

Electronic data base consulted during the international search (name of data base and, where practicable, search terms used)

C. DOCUMENTS CONSIDERED TO BE RELEVANT

Category*	Citation of document, with indication, where appropriate, of the relevant passages	Relevant to claim No.
X	JP 2005-141200 A (Microsoft Corp.), 02 June 2005 (02.06.2005), paragraphs [0020] to [0059], [0132] to [0157]	1-6, 8-13, 15-16
Y	& US 2005/0094806 A1 paragraphs [0026] to [0042], [0085] to [0096] & EP 1528705 A1 & DE 602004020565 D & CA 2483486 A & BR 404122 A & NO 20044028 A & NZ 535698 A & IL 164071 D & KR 10-2005-0042441 A & CN 1614922 A & ZA 200407941 A & BR PI0404122 A & AT 429098 T & SG 111191 A & CO 5630049 A & HK 1085585 A & RU 2004132057 A & AU 2004218638 A & MX PA04010155 A & TW 200525979 A & CA 2483486 A1	7, 14

Further documents are listed in the continuation of Box C. See patent family annex.

* Special categories of cited documents:	"T" later document published after the international filing date or priority date and not in conflict with the application but cited to understand the principle or theory underlying the invention
"A" document defining the general state of the art which is not considered to be of particular relevance	"X" document of particular relevance; the claimed invention cannot be considered novel or cannot be considered to involve an inventive step when the document is taken alone
"E" earlier application or patent but published on or after the international filing date	"Y" document of particular relevance; the claimed invention cannot be considered to involve an inventive step when the document is combined with one or more other such documents, such combination being obvious to a person skilled in the art
"L" document which may throw doubts on priority claim(s) or which is cited to establish the publication date of another citation or other special reason (as specified)	"&" document member of the same patent family
"O" document referring to an oral disclosure, use, exhibition or other means	
"P" document published prior to the international filing date but later than the priority date claimed	

Date of the actual completion of the international search 11 April 2017 (11.04.17)	Date of mailing of the international search report 18 April 2017 (18.04.17)
---	--

Name and mailing address of the ISA/ Japan Patent Office 3-4-3, Kasumigaseki, Chiyoda-ku, Tokyo 100-8915, Japan	Authorized officer Telephone No.
--	---

INTERNATIONAL SEARCH REPORT

International application No.

PCT/JP2017/001558

C (Continuation). DOCUMENTS CONSIDERED TO BE RELEVANT

Category*	Citation of document, with indication, where appropriate, of the relevant passages	Relevant to claim No.
Y	GENTRY, Craig and SILVERBERG, Alice, Hierarchical ID-Based Cryptography, Lecture Notes in Computer Science, 2002, Vol. 2501, pp. 248-566	7, 14
A	JP 2006-311477 A (Microsoft Corp.), 09 November 2006 (09.11.2006), & US 2006/0248338 A1 & EP 1717724 A1 & CA 2517807 A & KR 10-2006-0113329 A & CN 1855815 A & BR PI0503555 A & AU 2005203526 A & RU 2005127358 A & CA 2517807 A1	1-16
P, X	KOSHIBA, Takeshi and TAKASHIMA, Katsuyuki, Pairing Cryptography Meets Isogeny: A New Framework of Isogenous Pairing Groups, Cryptology ePrint Archive [online], Report 2016/1138, Ver. 20161214:185829, 2016.12, pp. 1-36, [retrieved on 2017.04.07], Retrieved from the Internet: <URL: http://eprint.iacr.org/2016/1138/20161214:185829 >	1-16

A. 発明の属する分野の分類 (国際特許分類 (IPC))

Int.Cl. H04L9/08(2006.01)i, G09C1/00(2006.01)i

B. 調査を行った分野

調査を行った最小限資料 (国際特許分類 (IPC))

Int.Cl. H04L9/08, G09C1/00

最小限資料以外の資料で調査を行った分野に含まれるもの

日本国実用新案公報	1922-1996年
日本国公開実用新案公報	1971-2017年
日本国実用新案登録公報	1996-2017年
日本国登録実用新案公報	1994-2017年

国際調査で使用した電子データベース (データベースの名称、調査に使用した用語)

C. 関連すると認められる文献

引用文献の カテゴリー*	引用文献名 及び一部の箇所が関連するときは、その関連する箇所の表示	関連する 請求項の番号
X	JP 2005-141200 A (マイクロソフト コーポレーション) 2005.06.02, 段落 0020-0059, 0132-0157	1-6, 8-13, 15-16
Y	& US 2005/0094806 A1, 段落 0026-0042, 0085-0096 & EP 1528705 A1 & DE 602004020565 D & CA 2483486 A & BR 404122 A & NO 20044028 A & NZ 535698 A & IL 164071 D & KR 10-2005-0042441 A & CN 1614922 A & ZA 200407941 A & BR PI0404122 A & AT 429098 T & SG 111191 A & CO 5630049 A & HK 1085585 A & RU 2004132057 A & AU 2004218638 A & MX PA04010155 A & TW 200525979 A & CA 2483486 A1	7, 14

☑ C欄の続きにも文献が列挙されている。

☐ パテントファミリーに関する別紙を参照。

* 引用文献のカテゴリー

「A」特に関連のある文献ではなく、一般的技術水準を示すもの
「E」国際出願日前の出願または特許であるが、国際出願日以後に公表されたもの
「L」優先権主張に疑義を提起する文献又は他の文献の発行日若しくは他の特別な理由を確立するために引用する文献 (理由を付す)
「O」口頭による開示、使用、展示等に言及する文献
「P」国際出願日前で、かつ優先権の主張の基礎となる出願

の日の後に公表された文献

「T」国際出願日又は優先日後に公表された文献であって出願と矛盾するものではなく、発明の原理又は理論の理解のために引用するもの
「X」特に関連のある文献であって、当該文献のみで発明の新規性又は進歩性がないと考えられるもの
「Y」特に関連のある文献であって、当該文献と他の1以上の文献との、当業者にとって自明である組合せによって進歩性がないと考えられるもの
「&」同一パテントファミリー文献

国際調査を完了した日

11.04.2017

国際調査報告の発送日

18.04.2017

国際調査機関の名称及びあて先

日本国特許庁 (ISA/J P)
郵便番号 100-8915
東京都千代田区霞が関三丁目4番3号

特許庁審査官 (権限のある職員)

金沢 史明

5 S

4538

電話番号 03-3581-1101 内線 3546

C (続き) . 関連すると認められる文献		
引用文献の カテゴリー*	引用文献名 及び一部の箇所が関連するときは、その関連する箇所の表示	関連する 請求項の番号
Y	GENTRY, Craig and SILVERBERG, Alice, Hierarchical ID-Based Cryptography, Lecture Notes in Computer Science, 2002, Vol. 2501, pp. 248-566	7, 14
A	JP 2006-311477 A (マイクロソフト コーポレーション) 2006. 11. 09, & US 2006/0248338 A1 & EP 1717724 A1 & CA 2517807 A & KR 10-2006-0113329 A & CN 1855815 A & BR PI0503555 A & AU 2005203526 A & RU 2005127358 A & CA 2517807 A1	1-16
P, X	KOSHIBA, Takeshi and TAKASHIMA, Katsuyuki, Pairing Cryptography Meets Isogeny: A New Framework of Isogenous Pairing Groups, Cryptology ePrint Archive [online], Report 2016/1138, Ver. 20161214:185829, 2016. 12, pp. 1-36, [retrieved on 2017. 04. 07], Retrieved from the Internet: <URL: http://eprint.iacr.org/2016/1138/20161214:185829 >	1-16